

TARTU ÜLIKOOL
Loodus- ja täppisteaduste valdkond
Füüsika instituut

Füüsika eriala

LAUR JOOST

**BPSK DEMODULEERIMINE
TARKVARALISE RAADIOGA**

Bakalaureusetöö (12 EAP)

Juhendajad: Viljo Allik, MSc
Indrek Sünter, MSc

Tartu 2016

BPSK demoduleerimine tarkvaralise raadioga

Bakalaureusetöö osana koostatakse tarkvaralisel raadiol põhinev BPSK vastuvõtja satelliitside maajaamade jaoks, kasutades USRP N210 tarkvaralist raadiot ning GnuRadio raamistikku. Töö osana koostatakse GnuRadio lisaplokk, mis sõltumata välistest programmidest teostab satelliidi Doppleri nihke korrigeerimist. Vastuvõtja saavutab bitiveatimeduse sõltuvuse signaal-müra suhtes 0.5 dB piires optimaalsest.

Töö käigus koostatud kood on vabalt kättesaadav asukohas [18].

Märksõnad: SDR, DSP, GnuRadio

CERCS: T121 – Signaalitöötlus

Demodulation of BPSK using Software Defined Radio

As part of this Bachelor's Thesis, a Software-Defined BPSK Receiver for satellite ground stations using Ettus USRP N210 software defined radio and the GnuRadio framework is implemented. A part of the results is a Doppler correction block for GnuRadio that has no external dependencies. The receiver achieves a bit-error rate dependency of signal-to-noise ratio within 0.5 dB of optimal.

The resulting code is freely accessible at [18].

Keywords: SDR, DSP, GnuRadio

CERCS: T121 – Signal Processing

Sisukord

BPSK demoduleerimine tarkvaralise raadioga	2
Demodulation of BPSK using Software Defined Radio	2
Sisukord	3
Joonised	5
Lühendid	6
1 Motivatsioon	8
1.1 Tulevased missioonid	8
1.2 Hetkeseis	8
1.3 Ristkasutus	8
2 Ülevaade	10
2.1 Tarkvaraline raadio	10
2.2 I/Q esitus ja selle tarvilikkus	10
2.3 Riistvara	13
2.3.1 USRP N210	14
2.4 Tarkvara	15
2.4.1 GnuRadio	15
2.5 Kosmoseside	16
2.6 BPSK - digitaalne kahendfaasmodulatsioon	16
2.7 Filtreerimine	17
3 Vastuvõtja disain	19
3.1 Sageduskorrektsioon	19
3.1.1 Doppleri nihke kompensatsioon	19
3.1.2 Sagedussünkronisatsioon	20
3.2 Faasisünkronisatsioon	22
3.3 Sümbolitakti sünkroniseerimine	22
3.4 Sõnepõhine faasi- ja sümbolisünkronisatsioon	23
3.4.1 Sünkrosõna valik	24
3.5 Paketituvastus ja väljastamine	24
3.6 Filtrid	25

4	Testid	27
4.1	Bitivigade tiheduse hindamine	27
4.1.1	Signaal-müra suhte määramine	28
4.1.2	Bitivigade loendamine	29
4.2	Doppleri ploki võrdlus GPredictiga	32
5	Arendusvõimalused	33
5.1	Veaparandus	33
6	Lisad	38
6.1	BER testimine.	38
6.1.1	STM32F1 PRBS9 genereerimiskood	38
6.1.2	SNR ploki kalibreerimisandmete töötlemine	42
6.1.3	Bitivigade tiheduse andmete töötlemine	43
6.2	Doppleri nihke korrigeerimise plokk	45

Joonised

1	Tarkvaralise raadio plokk skeem	10
2	Näited faas-, sagedus-, ja amplituudmodulatsioonist	11
3	Signaali võendi esitus komplekstasandil: A on signaali amplituud, θ faas.	12
4	gnuradio-companion näide: jooniste 2 ja 5 andmete generaator	16
5	RRC-filtreeritud signaal, liiasus $\alpha = 0.35$	18
6	Doppleri ploki töö. s_n - sisendvõendid, $e^{j\phi}$ - sisemise ostsillaatori olek, f_n doppleri nihke hinnang, r_s - diskreetimissagedus	21
7	Costase ahel	22
8	Saatja ühikimpulss	25
9	Bitivea tiheduse testi ülevaade.	28
10	SNR ploki kalibratsioon.	29
11	Testpakettide genereerija põhimõtteskeem.	30
12	Bitivigade tiheduse võrdlus teoreetilisega.	31
13	Simuleeritud satelliidi ülelend	32

Lühendid

AWGN Additive White Gaussian Noise — Normaal (e. Gaussi) jaotusega juhuslik liituv müra.

BER Bit Error Rate — Bitivea tõenäosus.

BPSK Binary **PSK** — digitaalne kahendfaasmodulatsioon.

C-riba Raadiosageduste vahemik 4–8 GHz.

DBPSK Differential **BPSK** — Diferentsiaalne **BPSK**. Andmeid antakse edasi faasi muutumise või mittemuutumisega.

DSP Digital Signal Processing — digitaalne signaalitöötlus.

EC-1 ESTCube-1.

EC-2 ESTCube-2.

EC-3 ESTCube-3.

FSK Frequency Shift Keying — digitaalne sagedusmodulatsioon.

GFSK Gaussian **FSK** — Gaussi funktsiooniga filtreeritud **FSK**.

I/Q In-phase/Quadrature — sünfaas/kvadratuuresitus[30].

IEEE Institute of Electrical and Electronics Engineers — Elektri- ja elektroonikainseeneride instituut. USA-s baseeruv ülemaailmne mittetulunduslik organisatsioon.

ITU-T "International Telecommunication Union – Telecommunication Standardization Sector".

MCS Mission Control System — Missioonijuhtimissüsteem.

MSK Minimum Shift Keying — **FSK**, mille puhul sagedusdeviatsioon on $1/2$ bitisagedusest.

PRBS9 Pseudo-Random Binary Sequence 9 — 9-bitine kahend-pseudomüra. 9-bitise tagasisidestatud nihkeregistriga genereeritav maksimaalse pikkusega unikaalne bitijada.

PSK Phase Shift Keying — digitaalne faasmodulatsioon.

RRC Root-Raised Cosine — tõstetud ruutjuur-koosinusfilter.

Filter, mille sageduskoste servad on sagedustelje kohale tõstetud koosinuse vee-
randperioodi ruutjuured.

SDR Software-Defined Radio — tarkvaraline raadio.

1. Raadio, mille ehitus on peamiselt defineeritud tarkvaraga, jättes riistvara hoo-
leks vaid sagedusnihke,
2. sellise raadio riistvaraline komponent.

SNR Signal-to-Noise Ratio — signaali/müra suhe.

USRP Universal Software Radio Peripheral — Ettus Researchi toodetav **SDR** riistvara.

1 Motivatsioon

Eesti Tudengisatelliidi programmi eesmärgiks on nanosatelliitide arendamise kaudu edasi viia nii Eesti insenerihariduse taset kui kohalikku võimekust kosmosetehnoloogia hangetest osavõtmiseks. Tähtis osa sellest on satelliidi opereerimine kosmoses. Selleks on vaja töökindlat ning piisava läbilaskevõimega sidet satelliidi ja maajaama vahel. Käesolev töö keskendub maapealse vastuvõtuvõimekuse arendamisele tarkvaralise raadio (SDR¹) abil, rõhuga ESTCube-2 (EC-2) C-riba² saatja vastuvõtmisel.

1.1 Tulevased missioonid

ESTCube-3 (EC-3³) eesmärgiks on Kuu orbiidil testida elektrilist päikesepurje. EC-2 on ettevalmistav missioon, mille ülesandeks testida ja valideerida kasutatav tehnoloogia ja tehnika EC-3-l kasutamiseks. Satelliidi pardale on kavas paigutada maavaatluskaamera (Earth Observation Payload), millega kaasneb vajadus suurte sidekiiruste järgi.

1.2 Hetkeseis

EC-2 peamine sidesüsteem kasutab ka ESTCube-1 (EC-1⁴) sides rakendatud sagedusmoduleeritud kanali ning amatöör-raadioside protokoll AX-25 kombinatsiooni. Selle vastuvõtmiseks on olemas nii riistvaralised kui tarkvaralised lahendused. EC-1 puhul olid side kiirusteks 9600 b/s maale ning 1200 b/s satelliidile. EC-2 puhul on ette nähtud sidekiiruste 38,4 kb/s-ni tõstmine.

Lisaks sellele on EC-2 pardal Ventspilsi Ülikooli tudengite ehitatud C-riba saatja, mis kasutab diskreetset kahendfaasmodulatsiooni (BPSK⁵). Kasutatav protokoll on hetkel määramata, sidekiirused on plaanitud Mb/s suurusjärku. Selle vastuvõtmiseks on plaanitud kasutada SDR-il põhinevat raadiot (käesolev töö). See võimaldab vastuvõtjat kergesti lõplikule saatjale kohandada ning kasutab ära maajaama juba olemasolevat riistvara.

1.3 Ristkasutus

Lisaks paindlikusele on SDR eeliseks portatiivsus. EC-2 vastuvõttu on kavas testida ka Irbene Raadioastronoomia Keskuse seadmetega, et valmistuda EC-3 kuu-missiooni sideks. SDR kasutamine võimaldab vältida sõltuvust riistvarast – muudatused vastuvõtjas on võimalik digitaalselt kohale toimetada.

¹Software Defined Radio

²4–8 GHz

³ESTCube-3

⁴ESTCube-1

⁵Binary Phase Shift Keying

Sama vastuvõtjaprogrammi saavad minimaalsete riistvarast sõltuvate modifikatsioonidega kasutada ka raadioamatöörid. Kuna satelliit kasutab amatöör–raadio sagedusi, siis peavad side parameetrid olema avalikult kättesaadavad. EC-1 kogemus näitab ka, et võimalus raadioamatööride vastuvõetud andmed otse missioonijuhtimis-süsteemiga (MCS⁶) ühendada on kasulik meetod vajadusel satelliidi vastuvõtuala suurendamiseks. [37]

⁶Missioonijuhtimissüsteem

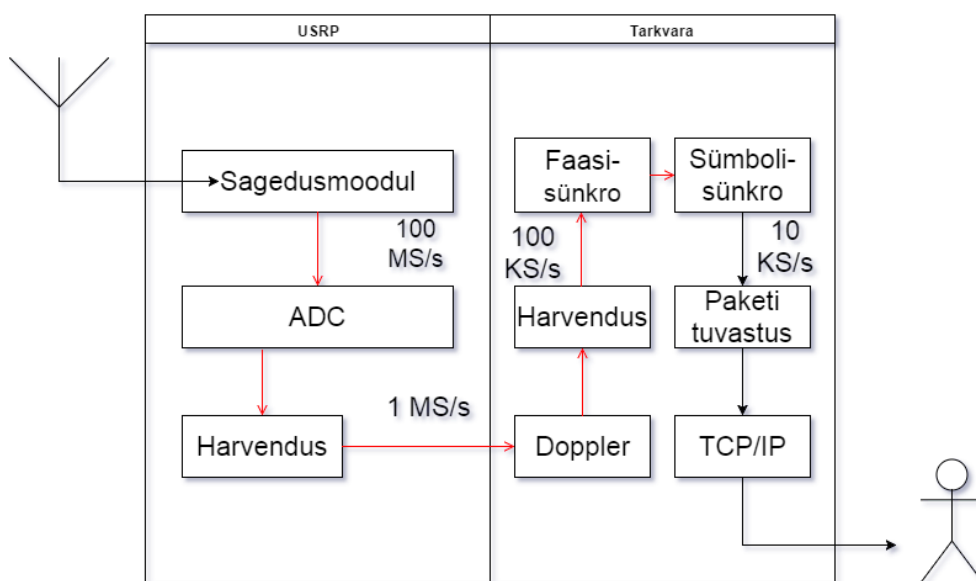
2 Ülevaade

2.1 Tarkvaraline raadio

IEEE⁷ defineerib tarkvaralise raadio järgnevalt:

Tarkvaraline raadio on raadio, milles osa või kõik füüsilise kihi funktsioonid on tarkvaraliselt defineeritud — selle operatiivfunktsioonid (kuid mitte tingimata fikseeritud funktsioonide valimine) on tarkvaraliselt muudetav.[1, lk 4,6]

Käesolevas töös on riistvara osaks pääsuriba signaali vahesagedusele teisendamine ning diskreetimine. Tarkvaras toimub lõplik sageduskorrektsioon, demodulatsioon ning paketituvastus (Joonis 1).



Joonis 1: Tarkvaralise raadio plokkskeem

2.2 I/Q⁸ esitus ja selle tarvilikkus

Olgu kandevasagedus, millele andmeid moduleeritakse, kirjeldatud kui

$$s(t) = A_0 \sin(\omega_0 \cdot t + \phi_0), \quad A_0, \omega_0, \phi_0 = \text{const}, \quad (2.1)$$

kus

⁷Institute of Electrical and Electronics Engineers

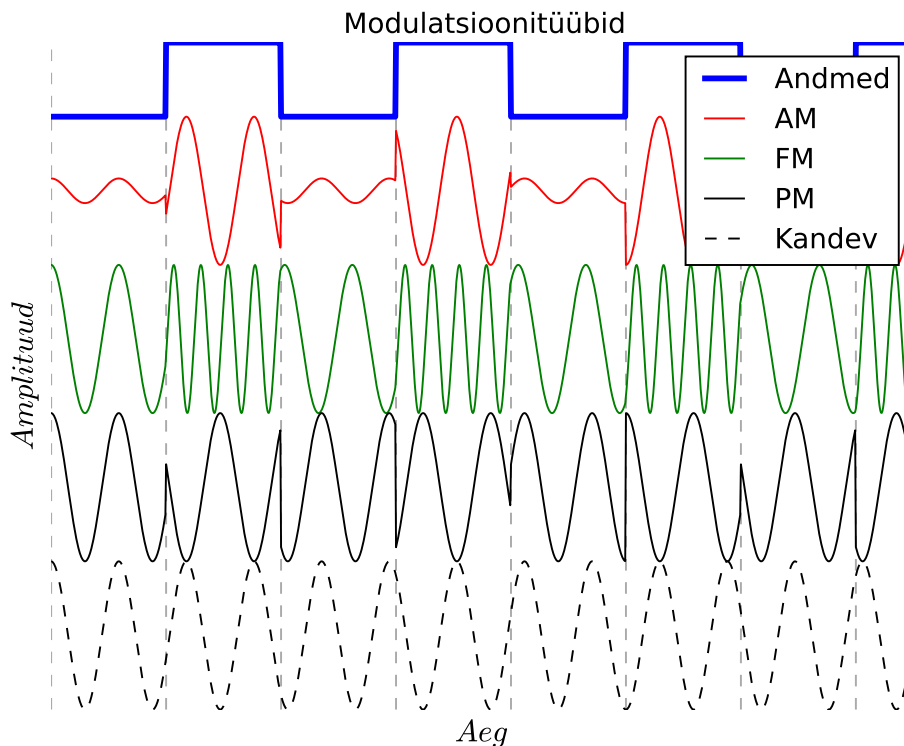
⁸In-Phase/Quadrature

A_0 on amplituud,

ω_0 nurksagedus,

ϕ_0 konstantne faasinihe.

Andmeid saab kandevasagedusele moduleerida muutes amplituudi, sagedust või faasi (Joonis 2). Sagedusmodulatsiooni võib käsitleda kui faasmodulatsiooni erijuhtu, kuna nurksagedus ω on faasi ϕ ajaline tuletis.



Joonis 2: Näited faas-, sagedus-, ja amplituudmodulatsioonist

Saatjas on lihtne jälgida, mis väärtusega mingi konkreetne parameeter parajasti on: saatja defineerib need oma tööga. Vastuvõtjas puudub suvalisel ajahetkel piisav info mõlema parameetri määramiseks kohaliku referentssignaali suhtes, isegi kui teada on nii hetkenivoo kui selle tuletis.

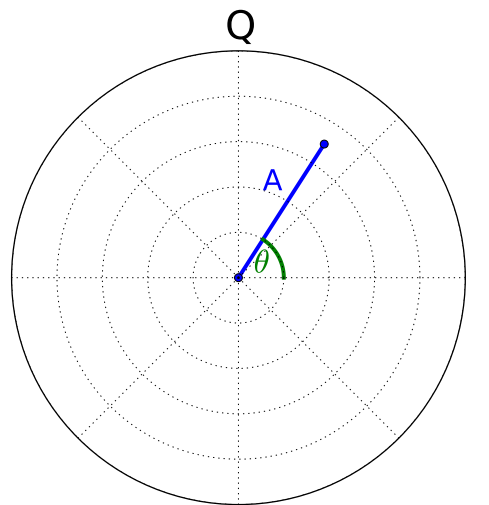
Olgu $a = A \sin(\phi)$ signaali nivoo hetkel t ja $b = \frac{da}{dt} = A \cos(\phi)\omega$ selle ajaline tuletis, siis

$$\begin{cases} a = A \sin(\phi) \\ b = A \cos(\phi)\omega \end{cases} \quad (2.2)$$

On näha, et süsteem ei ole üheselt lahenduv: tundmatuid väärtusi on rohkem kui võrrandeid. Diskreetsel juhul, asendades tuletise kahe võendi vahega, kehtib sama ebamäärasus.

Komplekskuju, mille reaalosa moodustab signaal ise, ning imaginaarosa selle signaali Hilberti teisendus, nimetatakse analüütiliseks signaaliks. Sellisel signaalil on igal ajahetkel defineeritud nii amplituud kui faas, ning faasi tuletis määrab hetksageduse. Lisaks on signaali kompleksosa iga sageduskomponent reaalosa vastava komponendi $\frac{\pi}{2}$ faasis pööratud variant.[34]

Sellist signaali ajahetkel t võib kujutada komplekstasandil (Joonis 3).



Joonis 3: Signaali võendi esitus komplekstasandil: A on signaali amplituud, θ faas.

Võendi projektsioon reaalteljele on signaali nivoo ajas. Seda nimetatakse I-komponendiks (In-phase). Projektsioon imaginaarteljele on Q-komponent (Quadrature).

Faas on defineeritud kohalikult genereeritud referentsignaali suhtes, mida kirjeldab (vrld. (2.1)):

$$c_I(t) = A_c \sin(\omega_c t). \quad (2.3)$$

Kuna signaal on genereeritud vastuvõtjas, võib faasinihke valida 0-ks.

Vastuvõetud signaali korrutis selle signaaliga annab

$$\begin{aligned} s(t)c_I(t) &= A(t)A_c \sin(\omega t + \phi(t)) \sin(\omega_c t) = \\ &= A(t)A_c (\cos(\omega t + \phi(t) - \omega t) - \cos(\omega_c t + \phi(t) + \omega t)). \end{aligned}$$

Kuna kandevasagedused on võrdsed, siis

$$s(t)c_I(t) = A(t)A_c (\cos(\phi(t)) - \cos(2\omega_c t + \phi(t))). \quad (2.4)$$

Filtreerides välja kõrgsagedusliku komponendi, jääb alles baasriba I-komponent

$$I(t) = A(t)A_c(\cos(\phi(t))). \quad (2.5)$$

Q-komponendi saamiseks tuleb tähele panna, et imaginaartelg on referentsi suhtes $\frac{\pi}{2}$ faasinihkega, seega Q-komponendi saamiseks tuleb korrutada signaal referentsi samavõrra nihutatud kooipiaga. Kuna referents on siinussignaali, siis Q-komponendi saamiseks on vaja signaal korrutada koosinussignaali:

$$\begin{aligned} c_Q(t) &= A_c \cos(\omega_c \cdot t), \\ s(t)c_Q(t) &= A(t)A_c \sin(\omega t + \phi(t)) \sin(\omega_c t + \pi/2) = \\ &= A(t)A_c (\cos(\omega t + \phi(t) - \omega_c t - \pi/2) - \cos(\omega_c t + \phi(t) + \omega t + \pi/2)) = \\ &= A(t)A_c (\cos(\phi - \pi/2) - \cos(2\omega_c t + \phi(t) + \pi/2)) \end{aligned}$$

ja analoogselt (2.5)-ga:

$$Q(t) = A(t)A_c(\cos(\phi(t) - \pi/2)) = A(t)A_c \sin(\phi(t)) \quad (2.6)$$

Signaali komplekskujul esitamine defineerib signaali üheselt, mis lihtsustab edasist töötlust. Näiteks saab sagedusteisendustel vältida lisaks vahesagedusele ka summaarse sageduse teket. Samuti lihtsustub Costase faasituvastusahela töö (vt. sektsioon 3.1.2).

2.3 Riistvara

Riistvara ülesandeks on raadiosagedusliku signaali teisendamine arvutil töötlemiseks sobivasse sagedusvahemikku ning diskreetimine, arvestades Nyquist-Shannoni diskreetimisteoreemi piirangut[14, ptk 2.4].

Levinud SDR tava-arvutiga ühendatavad riistvara lahendused võib jagada kolmeks:

1. Seadmed, mis teostavad sagedusnihke, ning väljastavad signaali analoogkujul arvuti helikaardi sisendisse.
2. Seadmed, mis teostavad analoogtehnoloogia abil sagedusnihke ning diskreedivad signaali, väljastades signaali digitaalkujul arvutile USB- või võrguühenduse kaudu
3. Seadmed, mis diskreedivad otse raadiosagedusel, ning teostavad sagedusnihke digitaalse signaalitöötluste (DSP⁹) abil, enne signaali arvutile edasi andmist.

⁹Digital Signal Processing

Esimesse kategooriasse, mille eelisteks on lihtsus ja odavus, kuuluvad näiteks Soft-Rock[44] ja FlexRadio SDR-1000[17]. Arvuti helikaardi võib sellisel juhul lugeda raadio osaks, ning seade ja helikaart kokku moodustavad tinglikult teise kategooria seadme. Piiravateks teguriteks on arvuti helikaardi diskreetimissagedus ja sageduskoste ning müra, ning kvaliteetne helikaart võib kogu süsteemi oluliselt kallimaks teha.[17] Käesoleva töö jaoks need ei sobi, kuna nende ribalaius seab ülempiiri maksimaalsele saavutatavale andmesidekiirusele.

Teise kategooriasse kuuluvad näiteks RTL-SDR[22], Funcube Dongle[25], Ettus Research USRP¹⁰-seeria[9] ja HackRF One[29]. Tegu on levinuima lahendusega, kuna võimaldab kasutada suuremaid ribalaiuseid kui esimese kategooria seadmed. RTL-SDR ja HackRF on mõlemad levinud hobivastuvõtjad, kuid nende 8-bitise dünaamilise ulatusega ADC-d seavad alampiiri saavutatavale signaal-müra suhtele nõrga signaali korral.

Kolmandas kategoorias on peamiselt lühilainealas ja madalamatel sagedustel töötavad raadiod, kuna disain eeldab töösagedusest suuremat analoog-digitaalmuunduri diskreetimissagedust. Näited selles kategoorias on FlexRadio SDR-6000 seeria[12], Microtelecom Perseus[27] ja ICOM IC-7300[16]. Samuti on see võimekus mõningatel teise kategooria seadmetel, näiteks USRP raadiod toetavad seda vastavate raadiosagedusmoodulite kasutamisel, ning RTL-SDR vastuvõtjaid saab otse-diskreetimiseks ümber ehitada[23]. Ehkki eksisteerib GHz-võimekusega analoog-digitaalmuundureid [38, 3], on need enamasti suunatud ultra-lairiba erirakendustele. Vähese leviku põhjuseks on raskused nii suure andmehulga aegsal töötlemisel.

Saatmisel (kui seade seda võimaldab) toimuvad kirjeldatud protsessid vastupidises järjekorras, ning kõik mainitud piirangud rakenduvad samaväärselt.

Käesolevaks tööks peab SDR riistvara vastama järgnevatele nõuetele:

- Ribalaius suurem kui 2 MHz
- Dünaamiline ulatus vähemalt 16 bitti
- 5.8 GHz vastuvõtu võimekus

2.3.1 USRP N210

Ettus Research USRP N210 on SDR, mis toetab kuni 50 MS/s 8-bitises, ning kuni 25 MS/s 16-bitises täis-dupleks režiimis. Seade ühendub arvutiga kasutades 1000BASE-T võrguühendust, mis seab ka piiri saavutatavale ribalaiusele.[8, 10]

N210 toetab erinevaid raadiosagedusmoduleid (*daughterboard*), mis võimaldavad ligipääsu erinevatele sagedusaladele vahemikus 0 – 6000 MHz.

ESTCube maaajaamal Tartu Observatooriumis on olemas USRP N210 SDR seadmed erinevate sagedusmoodulitega, millest aga hetkel ükski ei toeta 5.8 GHz signaali

¹⁰Universal Software Radio Peripheral

vastuvõttu. Kuna seadmed vastavad ülejäänud nõuetele, on viimane tingimus rahuldatud välise sagedusmuunduriga, mis teisendab 5.8 GHz signaali 600 MHz peale. Ettus Research pakub ka sagedusmoodulit mis katab vajaliku sagedusala, võimaldades hiljem süsteem integreerida[7].

2.4 Tarkvara

SDR tarkvara tegeleb vastuvõtul riistvarast saabuvate I/Q võendite töötlemisega vastavalt rakendusele. Peamiselt võib jagada lahendused kaheks:

1. Signaalitöötlusraamistikud, mis pakuvad erinevaid funktsioone, mida programmeerimisel kokku ühendades on võimalik defineerida uut funktsionaalsust;
2. Fikseeritud funktsioonidega rakendused, mis defineerivad teatud modulatsioonidemodulatsiooniskeemid või analüüsimeetodid, mille vahel võib olla võimalik valida.

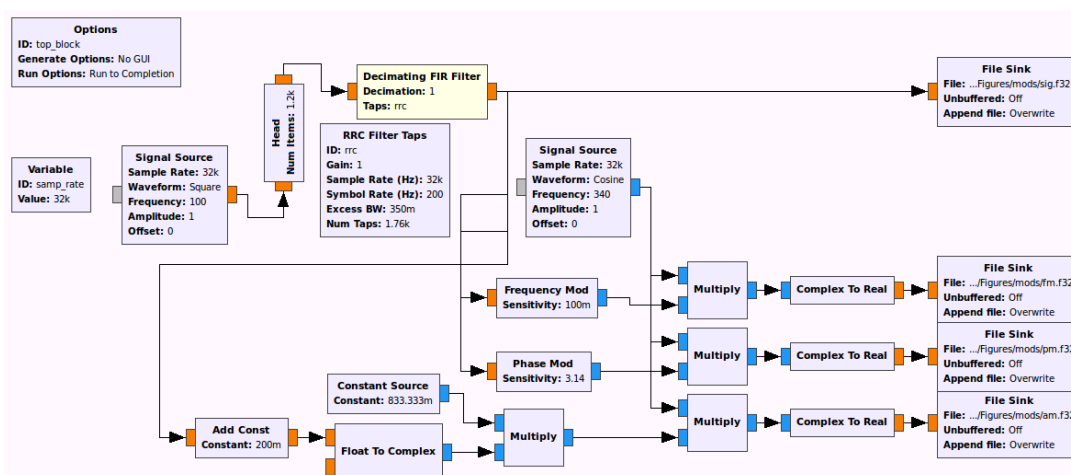
Esimesse kategooriasse kuuluvad näiteks GnuRadio [40], Simulink [42], LabView [28] ja Vivado [45]. Kõik kolm pakuvad võimalust signaalitöötlusrakenduste visuaalprogrammeerimiseks, lastes kasutajal ühendada signaalitöötlusplokk graafilises kasutajaliideses. Tegu on üldiste tööriistadega, mis kasutamiseks eeldavad tutvust signaalitöötlustega. Vivado on näide SDR disainist mitte tavaarvuti, vaid FPGA peal.

Teises kategoorias on näiteks GQRX [6], HDSDR [43], SDR Radio [35], SmartSDR [13], Linrad [4]. Enamasti on tegu SDR riistvaratootjate või radioamatöörade poolt välja antud programmidega, mis on suunatud amatööraradio režiimidel kasutamiseks.

2.4.1 GnuRadio

GnuRadio on vabavaraline signaalitöötlusraamistik, mille põhistruktuur on voodiagramm (ingl. k. *flowgraph*): varem programmeeritud töötlusplokkid ühendatakse omavahel järjestikku. Plokkid on kirjutatud C++ programmeerimiskeeles ning neid saab omavahel siduda nii C++, Pythonit kui graafilist programmeerimist kasutades. Gnuradio-companion (Joonis 4), mis esitab plokkid graafilisel kujul, võimaldab neid omavahel siduda, kontrollib ühenduste õigsust andmetüübi järgi, ning genereerib selle põhjal iseisva Pythoni programmi.

Uute moodulite ja plokkide kirjutamise lihtsustamiseks tuleb programmina kaasa *gr_modtool*, mis etteantud parameetrite (ploki tüüp, sisendid, väljundid, parameetrite arv) genereerib raamistiku, kuhu kuuluvad CMake-l[19] põhinev projektigenererimissüsteem, Pythoni ja C++ ühiktestide raamistikud, liidesed plokkide Pythonist välja kutsumiseks ning XML failid, mida kasutatakse gnuradio-companionis plokkide esituse defineerimiseks.



Joonis 4: gnuradio-companion näide: jooniste 2 ja 5 andmete generaator

GnuRadio eelisteks käesoleva projekti raames on avatus, mitmekülgne riistvara tugi ning nendest tulenev laiapõhjaline kasutajabaas nii raadioamatöörade seas, akadeemias kui tööstuses. Peamisteks puudusteks on kiirelt arenevatele avatud tarkvara projektidele omased pinnapealne dokumentatsioon ning kohati lünklik baasfunktsionaalsus.

2.5 Kosmoseside

Kuupsatelliidid kasutavad sideks enamasti FSK¹¹ modulatsiooni ning AX.25 kadreerimist[20]. AX.25 on amatöörkasutuses levinud punktist-punkti pakettandmeside protokoll, ning integreeritud FSK raadioga mikrokontrollerid, enamasti disainitud nutistus kasutamiseks, on odavad ja levinud. Olulisel kohal on inerts: lahendus on korduvalt testitud, töötav, ning enamikul juhtudel piisav.

2.6 BPSK - digitaalne kahendfaasmodulatsioon

BPSK on modulatsioon, mille puhul andmetega moduleeritakse kandevasageduse faasinihet. Olgu andmed esitatud bipolaarkujul:

$$s_n = \begin{cases} 1, & \text{kui } d_n = 1, \\ -1, & \text{kui } d_n = 0, \end{cases} \quad (2.7)$$

kus d_n on n -is andmebitt, siis moduleerides muudetakse saadetava signaali faasi $s_n \frac{\pi}{2}$ võrra.

¹¹Frequency Shift Keying

BPSK puhul on probleemiks faasi ebamäärasus: Vastuvõtjas ei ole võimalik lisainfota määrata, kumb olek tähendab 0, kumb 1. Sellest üle saamiseks saadetakse paketi päises mingi tuntud bitijada ning võrreldakse seda vastuvõtul.

Eksisteerib alternatiivne kuju: diferentsiaalne BPSK (DBPSK), kus andmed on moduleeritud mitte faasi absoluutse nihkena mingist referentsist, vaid faasi nihkena võrreldes eelmise sümboliga.

Lisaks andmete ühesele esitusele on DBPSK eeliseks BPSK ees see, et demoduleerimiseks ei ole vajalik vastuvõtjas rekonstrueerida absoluutset faasireferentsi – piisab töödeldava sümboli eelmisega võrdlemisest. Seega puudub vajadus kandevlaine faasilukustamise järgi. See võimaldab lihtsustada vastuvõtja konstruktsiooni, ning vältida lisaks sünkroniseerimise ajakulu paketi alguses.

Peamiseks puuduseks on 1-2 db suurem vajalik signaal-müra suhe antud bitivigade tõenäosuse saavutamiseks [32, ptk 5.2.8].

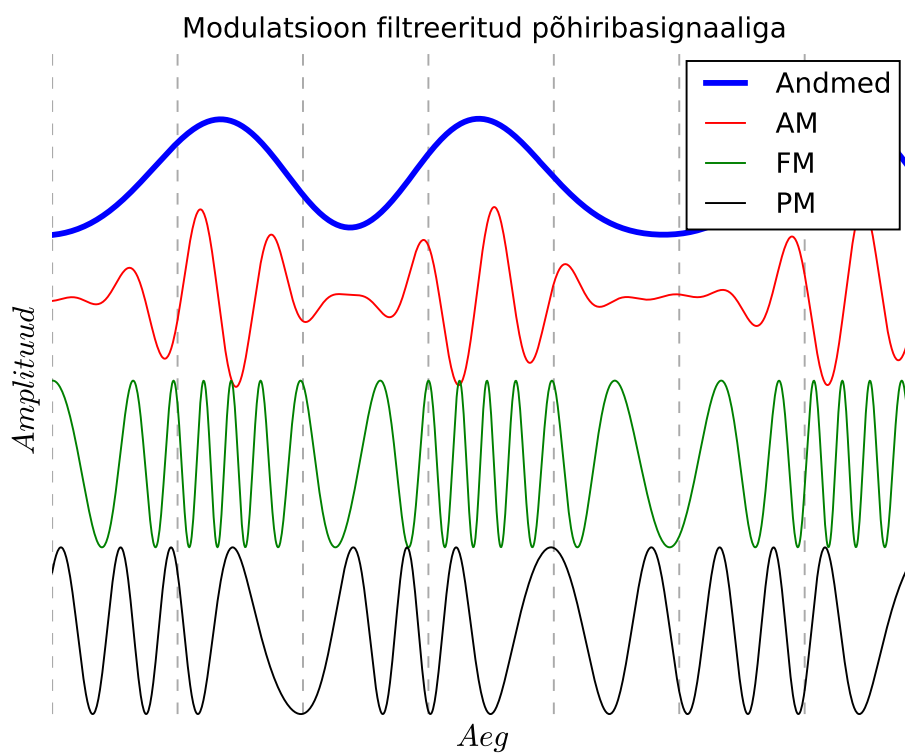
2.7 Filtreerimine

Kirjeldatud modulatsiooni korral toimub faasi muutus väga lühikese aja jooksul, mistõttu signaali sagedusesitus on lai. See on vastuolus raadiospektri kasutamise põhimõttega, mille järgi teisi spektri kasutajaid tuleb võimalikult vähe segada. Lugeses töösageduse läheduses müra spektraalse tiheduse konstantseks, võib lisaks täheldada, et vastuvõtja peab tegema kompromissi signaali energia püüdmise ning müra vältimise vahel. Seetõttu filtreeritakse saatjas signaale.

Kuna raadiosagedusel filtreerimine on keerukas (filtri suhteline pääsuriba läheb väga väikseks, mis viitab väga suurele kvaliteeditegurile), eelistatakse põhiriibafiltreerimist ehk impulsi kujundamist (ingl. k. *pulse shaping*): filtrit rakendatakse moduleerivale signaalile. Tulemus on kujutatud joonisel 5

Selliselt filtreeritud signaali tuvastamiseks vastuvõtjas, AWGN¹³ kanali puhul, on efektiivseim filter, mille impulsskoste on saatjas kasutatud filtri ajas pööratud versioon. Sellist filtrit nimetatakse sobitatud filtriiks (ingl. k. *matched filter*). Tulemuseks on vastuvõetud signaali korrelatsioon saadetud impulsi kujuga. [32, ptk 5.1.2]

¹³Additive White Gaussian Noise



Joonis 5: RRC¹²-filtreeritud signaal, liiasus $\alpha = 0.35$

3 Vastuvõtja disain

Tarkvaras on võimalik eristada nelja osa:

1. sageduskorrektsioon ja harvendus,
2. faasisünkronisatsioon,
3. demodulatsioon,
4. paketituvastus.

3.1 Sageduskorrektsioon

Sageduskorrektsioon koosneb satelliidi liikumise tõttu tekkinud Doppleri nihke korrektsoonist ning saatja ja vastuvõtja mitteideaalsuse kompenseerimiseks vajalikust sagedussünkronisatsioonist.

3.1.1 Doppleri nihke kompensatsioon

Nagu helile, rakendub ka raadiolainetele Doppleri nihe: lähenev saatja näib saatvat kõrgemal, kaugenev madalamal sagedusel, kui saatja tegelik sagedus. Satelliitsides võib selline nihe ulatuda olenevalt sagedusest ning orbiidist mitmesaja kHz-ni, kusjuures sageduse muutus võib olla 10 kHz/s suurusjärgus [21].

Seetõttu on vajalik kas saatjas või vastuvõtjas Doppleri nihe kompenseerida. Mõlemal juhul on korrigeerival poolel vaja teada või oletada osapoolte suhtelist liikumiskiirust. Lihtsustamaks satelliidi disaini ning mitme maajaama kasutamist, teostatakse käesolevas töös korrektsioon maajaamas.

Satelliitside hõlbustamiseks eksisteerib tarkvarapakett GPredict [5]. Programm suudab kontrollida nii antennikeerajaid kui amatöörraadioid HamLib[11] liideseteeke abil. EC-1 kogemus näitas, et ehkki GPredicti genereeritud andmed on usaldusväärsed, on programm ise järelvalveta kasutamiseks liiga ebastabiilne.

GPredict kasutab satelliitide positsioonide jälgimiseks C-s kirjutatud teeki sgp4sdp4 [36]. See evitab Põhja-Ameerika Õhukaitse Peastaabi (NORAD) poolt avaldatud algoritmide [15] SGP4 ja SDP4 (vastavalt maalähedaste ja kaugemate satelliitide jaoks), mis töötavad NORADi poolt avaldatud jälgimisandmetega.

Käesoleva töö raames valmis GnuRadio plokk, mis kutsub otse selle teegi funktsioone, tagamaks GPredictist sõltumatu Doppleri nihke korrigeerimine.

Üks olulisi eesmärgi oli saavutada sageduse ja faasi pidevus. Varasem kogemus Costase faasisünkronisatsiooni ploki on näidanud, et järsud sageduse muutused on peamine faasipöörete põhjus.

Plokk oskab lisaks süsteemiaja järgi töötamisele ära kasutada USRP võimekust lisada esimesele vastuvõetud signaali I/Q võendile vastuvõtutaja lipp. Seega hoolitseb USRP

aja monotoonsuse tagamise eest. Ühtlasi võimaldab see võendi täpsusega reageerida kadunud pakettidele või ajutiselt peatatud tööle.

Süsteemiaja järgi töötades ei ole efektiivne ega enamasti võimalik samasugust reageerimisvõimet tagada: Süsteemiaja päring on võrreldes diskreetimissagedusega aeglane, ning tihti puudub platvormil piisava lahutusega aja allikas. Lisaks pole ploki lõim pidevalt aktiivne: GnuRadio plaanur koordineerib plokkide tööd vastavalt järgnevate plokkide nõudlusele ja eelnevate tootlikkusele.

Ploki tööprotsess on järgnev (vt joonis 6):

- Plokk saab arvu n võendeid, mida töödelda.
 - Kui nende seas on vastuvõtutaja lipuga võendeid, töödeldakse vaid sellest eelneva võendini.
 - Kui lippe pole, töödeldakse kõik võendid, mille jaoks on olemas ette valmistatud sagedusi.
- Kui esimesel võendil on lipp või ette valmistatud sagedused saavad otsa, genereeritakse uus sagedusteniimekiri.
 - Kui põhjuseks on ettevalmistatud sageduste otsa saamine, päritakse sgpsdp teegilt 1 sekund hilisema aja kohta doppleri nihke hinnang. Algpunktina kasutatakse eelmise jada lõppsagedust.
 - Kui põhjuseks on lipp, päritakse hinnangud nii alguse kui lõpu jaoks sgpsdp teegilt.
 - Nende kahe punkti vahel interpoleeritakse lineaarselt diskreetimissageduse järgi hetksagedused.
- GnuRadio plaanurile antakse teada, mitu võendit töödeldi.

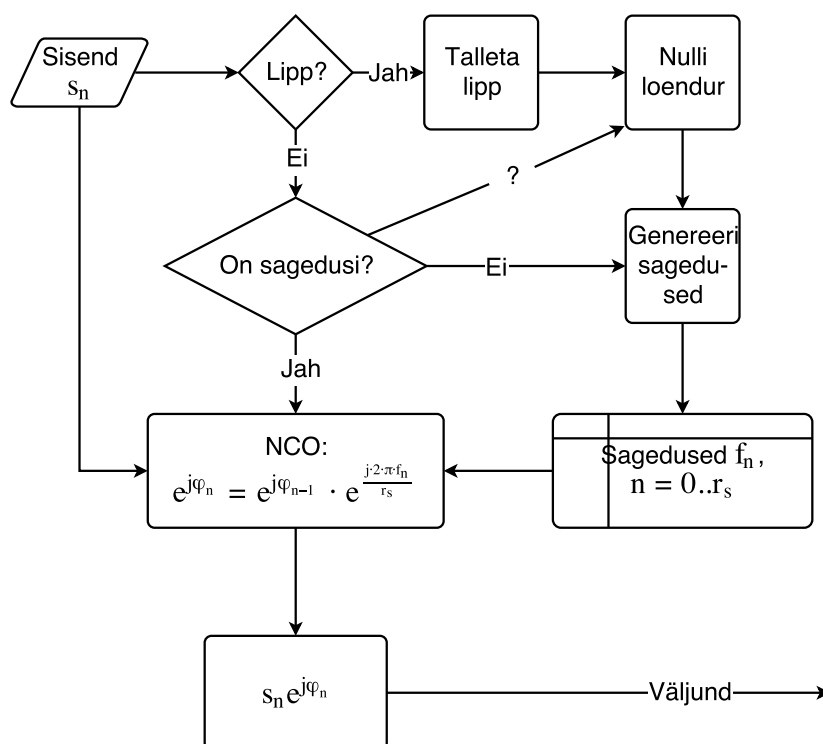
Koodiga on võimalik tutvuda lisas 6.2 ning veebilehel [18, /blocks/gr-doppler/]

3.1.2 Sagedussünkronisatsioon

Kuna ebatäiused tootmises, keskkonna mõjutused ning vananemine võivad saatja või vastuvõtja sagedusstandardi täpsust mõjutada, on raadiotes harilikult kasutusel sagedussünkronisatsioon.

Kuna antud juhul on saatja alati sama ning hästi karakteriseeritud, ning kuna faasikorrektsoon (vt. järgmine sektsioon) suudab +- 2 kHz piires seda ülesannet iseseisvalt täita, ei ole praeguse seisuga vajalik vastuvõtjas lisakeerukust tekitada.

Ekspimenteeriti mõningate GnuRadio standardteegi lahendustega:



Joonis 6: Doppleri ploki töö. s_n - sisendvõendid, $e^{j\phi}$ - sisemise ostsillaatori olek, f_n doppleri nihke hinnang, r_s - diskreetimissagedus

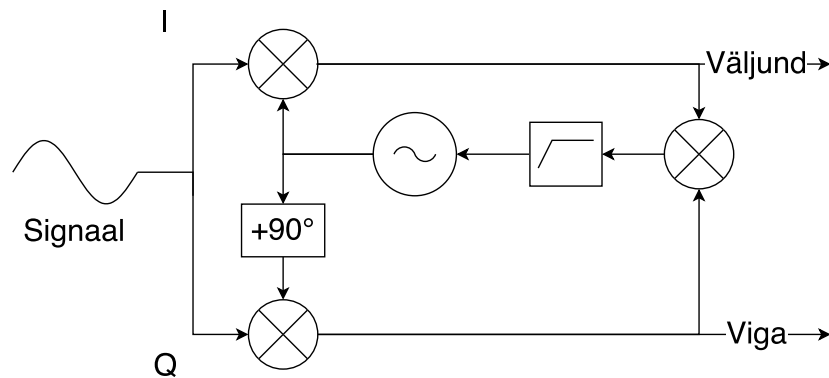
- *FLL Band Edge* kasutab sobitatud filtrist tuletatud kahte filtrit, mis asuvad signaali spektri servadel. Nende diferentsiaalne korrelatsioon vastuvõetud signaaliga on tagasisideahela veasignaalliks. Puuduseks on ploki fikseeritus RRC filtritega kasutamiseks. Lisaks raskendab antud töös selle ploki kasutamist asjaolu, et testseade, mille vastuvõttu katsetati, vahetab perioodiliselt nullfaasi: Kui andmed on kodeeritud üheselt $\{0, 1\} \mapsto \{\frac{\pi}{2}, -\frac{\pi}{2}\}$, siis üleminekud võivad olla nii läbi 0 kui π . See muudab sagedusesituse kuju, tehes spektri servadel põhineva lahenduse ebasobivaks. Lisapiirang ploki tööks on see, et lukustumiseks peab signaal sisaldama statistiliselt enam-vähem juhuslikke andmeid: plokk ei lukustu puhtale kandevlainele, küll aga suudab järgida aktiivset kanalit.
- *PLL Carrier Tracking* lukustub kiiresti kandevsagedusele, ent ei sobi aktiivse kanali järgimiseks. Selle ploki kasutamiseks on vaja tagasisidet ülejäänud vastuvõtjalt, mis sageduse paketi dekodeerimise ajaks lukustaks.

3.2 Faasisünkronisatsioon

PSK¹⁴ vastuvõtmiseks on vaja signaali faasi mingi referentsiga võrrelda. Kuna vastuvõtjal puudub originaalreferentsile ligipääs, tuleb see koha peal genereerida.

Costase ahel on analoog-raadioskeemidest pärit faasisünkronisatsiooniahel [32, lk 355-356], mille digitaalne signaalitöötlus on lihtsamaks teinud [39] (vt. joonis 7):

Olgu ω nurksageduse hinnang ning ϕ kohaliku ostsillaatori hetkefaas. Plokki töötlemiseks saabuv võend s korrutatakse kõigepealt $e^{-j\phi}$ -ga. Sellega on s -le rakendatud sagedusparand ning saab arvutada sageduse veahinnangu. BPSK faasi veasignaali on $\epsilon = \Re(s) \cdot \Im(s)$. Veasignaali madalpääs-filtreeritakse ning liidetakse ω -le, mille alusel uuendatakse kohaliku ostsillaatori faasi ϕ . ϵ märk on alati selline, et kui liita see ω -le, rakendatakse järgmisele võendile vastavalt vajadusele suuremat või väiksemat sagedusnihet, et parandi tulemusena oleks võend reaalteljel.



Joonis 7: Costase ahel

Skeemi eeliseks on, et faasinihe π võrra ei põhjusta lukustuse kaotust. See teeb Costase ahela väga sobivaks BPSK sünkroniseerimiseks: korrigeerimine toimub pidevalt.

Töös on madalpääsufiltri laius on määratud eksperimentaalselt piisavalt kitsas, et vältida genereeritud referentsignaali faasi pöördumist π võrra müra tõttu. See määrab ka alampiiri signaal-müra suhtele, millel vastuvõtja on võimeline töötama (vt. sektsioon 4.1).

3.3 Sümbolitakti sünkroniseerimine

Lisaks kandevlaine sageduse- ja faasisünkronisatsioonile on vajalik kindlaks määrata samad parameetrid sümbolitakti jaoks. Sümbolite ajastus on määratud saatva mikrokontrolleri poolt, ning sagedusstandard mis selle määrab ei ole üldjuhul sünkroonis vastuvõtva seadme sagedusega.

¹⁴Phase Shift Keying

Sümbolitakti tuvastamiseks on võimalik ära kasutada saatjas kasutatud põhiriifiltri omadusi. Olgu meil kasutusel sobitatud filter (vt. ptk 2.7). Hetked, mil korrelatsiooniltri ning vastuvõetud signaali vahel on suurim, ongi võendi võtmiseks optimaalsed.[14, ptk. 13.3].

GnuRadio standardteekides on polüfaas-sümbolisünkronisaator (*Polyphase Clock Sync*). See võimaldab teostada ühe blokiga nii filtreerimise kui sünkroniseerimise. Plokk vajab parameetrina kõrgemat järku filtrit, kui diskreetimisagedus ette näeks: olgu osafiltrite arv $n = 32$, sümbolitakt 10 korda väiksem diskreetimisagedusest ning filtri rühmaviide 7 sümbolit, siis filtri järk peab olema $32 \cdot 7 \cdot 10$ [14, ptk 13.3.2][41].

See filter jagatakse kaardipaki laadselt laiali n osafiltriiks. Võib tähele panna, et filtrid on üksteise suhtes $\frac{2\pi}{n}$ võrra faasinihkes, ning katavad kokku kogu võimaliku faaside vahemiku sama suure sammuga.

Lisaks genereeritakse teine osafiltrite pakk, mille koefitsiendid on esimese paki kõrvutiolevate osafiltrite koefitsientide vahed.

Sissetulevale signaalile rakendatakse korruga ühte osafiltrit põhipakist ja sellega seotud osafiltrit vahepakist. Põhipaki filter leiab korrelatsiooni, vahepakki filter aga suuna, kuhu poole peab korrelatsiooni tõstmiseks liikuma. Kui plokk on saavutanud korrelatsiooni maksimumi, jääb selle olek kahe kõrvutiasetseva osafiltri vahel vahetuma. n -nda osafiltri rakendamine interpoleerib sümboli maksimumi (mis muudu võis olla kahe võendi vahel) kindla võendi peale, misjärel see võend väljastatakse kui parim sümboli väärtuse hinnang.[14, ptk13.3.2]

Pärast seda eraldatakse komplekssest sümbolist reaalosa ujukomaarvuna, teisendatakse märgi järgi üheks või nulliks, ning saadetakse bitijada paketituvastusse.

3.4 Sõnepõhine faasi- ja sümbolisünkronisatsioon

Nii *Costas loop* kui *PFB Clock Sync* tunnistavad voolippusid (vastavalt `phase_est` ja `time_est`), mille väärtuste järgi korrigeerivad oma hetkeseisu. Nende lippude genereerimiseks on standardteegis plokk *Correlation Estimator*. Plokile on võimalik ette anda sünkrosõna moduleeritud kuju, mille leidmisel see hindab faasi- ja ajastusnihet. Algoritm on kirjeldatud [26].

Plokk märgib lippudena signaalivoos ära sünkrosõna alguse, lõpu ning faasi ja ajastuse. Faasi ja ajastuse lippude asukohta on võimalik valida. Arvestada tuleb aga, et kui signaal ei ole sagedussünkroniseeritud, siis on faasi hinnang korrektne vaid korrelatsiooni maksimumi kohal, seega on otstarbekas märkida hinnangud sõna lõppu. Sünkrosõna peaks lõppema sümboli keskel: faas on hästi defineeritud, ning sümbolitevaheline interferents ei mõjuta tulemust.

Antud töös prooviti sõnepõhist sünkroniseerimist lahendamaks BPSK faasi kahesu- se probleemi. Lõplikus disainis on see lahendus kõrvale jäetud. Järgneb lühike kokkuvõte kasutuselevõtmiseks vajalikust ning mittekasutamise põhjustest.

3.4.1 Sünkrosõna valik

Sünkrosõna autokorrelatsioon peab olema võimalikult terava piigi ning kergete saba-dega. Optimaalsed sellised jadad on Barkeri koodid, mille autokorrelatsioonid $c_n \leq 1$ kõikide nihete $n \neq 0$ korral. Kahjuks ei ole Barkeri koode, mis oleks pikemad kui 13 sümbolit. Eksperiment käesolevas töös näitas, et see ei ole piisav mürases signaalis valetuvastuste vältimiseks.

Seetõttu katsetati 24-bitist optimaalset koodi[24]. Probleemiks jäi siinkohal see, et sünkrosõna tuvastamine küllaldase usaldusväärsuse ning madala valetuvastuste arvuga nõudis vähemalt ligikaudset sagedussünkroniseeritust. Kuna faasisünkronisaator lukustus enamasti kiiremini kui sagedus-sünkronisaator, tekitas sünkrosõne abil leitud faasile lülitumine pigem faasimüra, ning pikendas sünkronisatsiooni stabiliseerumise aega.

Tasub tähelepanu juhtida asjaolule, et *PFB Clock Sync* plokis on teadaolev viga lippude töötlemisel. Kuna olemuselt ei ole plokk fikseeritud harvendusteguriga, ei ole lippude asukoha määramine väljundis triviaalne. Olemas on veaparandus [33], mis vähendab nihet. Seejärel saab lõpliku korrektsiooni teha *PFB Clock Sync* plokis kasutatava filtripaki nihutamiseks. Joonisel 8 kujutatud filtri maksimumi nihe keskjoonelt on sellise korrektoori tulemus.

Kuna BPSK faasipööre on (samuti sünkrosõna abil) lihtsalt tuvastatav ka pärast demoduleerimist ja dekodeerimist, ja seda harvendusteguri jagu väiksema arvutuskoormusega, ei olnud käesoleval juhul otstarbekas sellist faasi- ja ajastussünkroniseerimismetodit kasutada. Võib arvata, et meetod omab rohkem väärtust kõrgemat järku modulatsioonimeetodite sünkroniseerimisel, mille puhul demoduleeritud kujul nihke tuvastamine pole triviaalne.

Lisaraskuseks käesolevas töös on juba seksioonis 3.1.2 mainitud ADF4158 BPSK signaali eripära, et modulatsiooni faas sümbolite vahel ei ole ühene. Selline signaali konjugatsioon tingis vajaduse kasutada kaht korrelatsiooniplokki erinevate filtritega, mis tõstis arvutuskoormust veelgi.

3.5 Paketituvastus ja väljastamine

Kuna tegelik kasutusele tulev protokoll ei ole veel teada, on hetkel testimiseks kasutusele võetud GnuRadio standardteegis olev lihtne sünkrosõnaga paketituvastus. Sünkrosõnanan kasutatakse 34-bitist minimaalsete sabadega autokorrelatsiooniga bitijada[24].

Olles vastuvõetud bitijadas tuvastanud sünkrosõna, eeldab plokk, et järgmised 32 bitti kirjeldavad paketi andmete pikkust bittides. Pikkus on kirjeldatud kahe 16-bitise arvuna, ning kui need ei ole võrdsed, loetakse pakett vigaseks ja seda ei edastata.

Kui pikkus tuvastatakse edukalt, märgitakse järgmine bitt peale pikkuseväljasid lipuga `packet_len`, mille väärtuseks on paketi pikkus bittides.

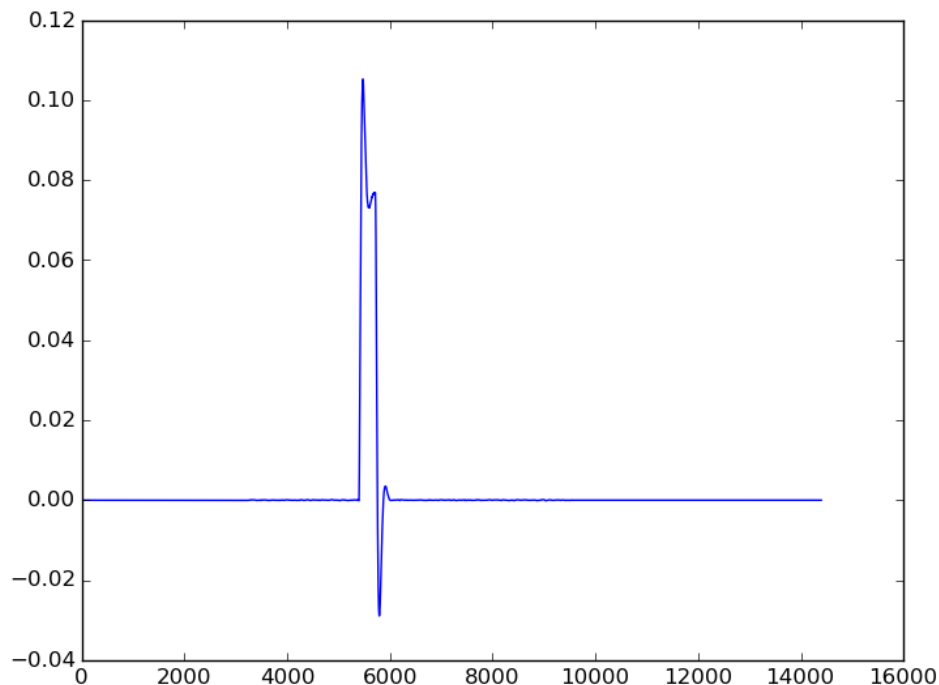
Tuvastamaks ka pööratud faasiga pakette, on selliseid plokkke kaks, komplementaarsete sünkrosõnedega. Kui tuvastakse pööratud faasiga pakett, rakendatakse ülejäänud

paketile XOR bitiseisu vahetust.

Bitid pakitakse baitideks kokku standardteegi plokiga *Repack Bits*, mis oskab intelligentselt ümber käia ka paketi pikkust tähistava lipuga. Edasi saadetakse pakett üle võrgu (klient või server, UDP või TCP) töötlemiseks.

3.6 Filtrid

Kuna hetkel reaalsed saateriistvara spetsifikatsiooni ei ole, ei saa selle alusel disainida ka süsteemile vajalikke sobitatud filtreid. Vastuvõtja testimiseks ning tundmatu saatja jaoks kohandamise meetoodika väljatöötamiseks kasutatakse seetõttu olemasolevat ADF5148 sagedussüntesaatorit, mis suudab PSK otsesünteesida.



Joonis 8: Saatja ühikimpulss

Sagedussüntesaatorit käsitletakse kui nn „musta kasti”, kuhu saadetakse andmed, ning millest tuleb välja moduleeritud signaal. Sobitatud filtri välja töötamiseks on kõigepealt vaja määrata impulsskoste.

Selleks saadetakse süntesaatorisse 100 sümbolipikkust impulssi, ning salvestatakse väljundit. Tulemus sünkroniseeritakse käsitsi sageduses ning faasi sünkroniseerimiseks

kasutatakse väga madala ribalaiusega Costase ahelat. Seejärel jupitatakse salvestatud signaal üksikuteks impulssideks ning keskmistatakse, vabanemaks müra. Selleks on koostatud komplekt Pythoni ja GnuRadio programme, mis on leitavad asukohas [18, /Pulses/].

Ikka veel komplekskujul tulemus teisendatakse faasiks. Kuna korrelatsioon signaaliga toimub vastuvõtuahela lõpus, pärast harvendusfiltrit, tuleb ka see tulemus samamoodi töödelda, tagamaks vastavus sümbolituvaastuse hetkel. Tulemus konkreetse sagedussüntesaatori näitel on kujutatud joonisel 8.

Vajadusel diskreeditakse sobitatud filter sümbolituvaastuse filtripaki jaoks sobivale diskreetimissagedusele (vt 3.3).

4 Testid

4.1 Bitivigade tiheduse hindamine

Vastuvõtja efektiivsust kirjeldab selle võime infot mürasest signaalist eraldada. Selle hindamiseks saadetakse vastuvõtjale teadaoleva sisuga andmepakett, ning võrreldakse demoduleeritud andmeid tegelikuga.

Testimise jaoks kasutatavad andmed peavad sisaldama esinduslikku valimit võimalikest saadetatavatest bitijadadest. PSK puhul eriti olulised on jaded, mis sisaldavad järjestikku identseid sümboleid: vastuvõtja sümbolisünkronisatsioon kasutab ajastuse tuvastamiseks erinevate sümboleite vahelisi üleminekuid. Lahendus peab olema piisavalt täpne ja stabiilne, et selliste lõikude kohal ajastus säiliks.

Selliseks testimiseks on ITU-T¹⁵ defineerinud soovituslikud jaded[2]. Jaded on defineeritud n -bitiste tagasisidestatud nihkeregistritega. Tagasiside on valitud selline, et väljundis oleks esindatud kõik võimalikud n -bitised jaded, peale ühe (maksimaalne järjestikuste nullide arv on $n - 1$, kuna vastasel korral ei oleks registris enam midagi tagasi sidestada ning jada katkeks). Selline pseudojuhuslik väljund simuleerib küllalt hästi päris andmeid eeldusel, et sideprotokoll hoolitseb sünkroniseerimiseks piisava arvu bitimuutuste tagamise eest.

Vastuvõtja testimiseks genereeritakse 9-bitisele nihkeregistrile vastav selline jada (PRBS¹⁶). Sellele lisatakse päises dubleeritult registri algväärtus, mis võimaldab paketi kao korral vastuvõtja taas-sünkroniseerida. Seejärel koostatakse sektsioonis 3.5 kirjeldatud pakett, mis sisaldab 256 baiti testandmeid. Pakett moduleeritakse ning signaal suunatakse muudetavasse sumblülisse, mille abil signaali tugevust vähendatakse süsteemi mürataseme lähedale.

Vastuvõtjas hinnatakse signaali-müra võimsuste suhet SNR¹⁷ ning määratakse bitivigade arv ja tihedus. Info väljastatakse kord 10 sekundi tagant logisse.

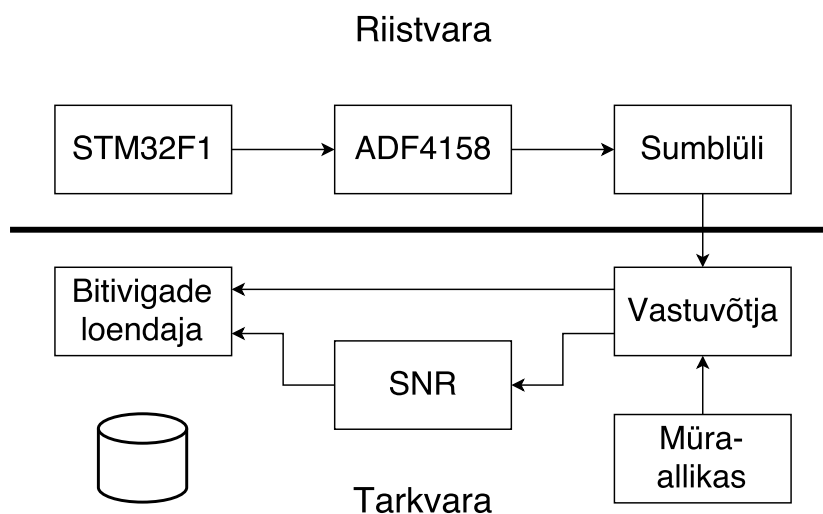
Testpakettide koostamiseks kasutatakse STM32F1 arendusplaati, moduleerimiseks ADF4158 arendusplaati (vt. sektsioon 3.6), SNR määramiseks GnuRadio standardteegi plokki „MPSK SNR Estimator Probe” ning pakettide töötlemiseks ja bitivigade loendamiseks selleks otstarbeks kirjutatud plokki. Ülevaade katsest on antud joonisel 9.

Kuna reaalse signaalitugevuse piisavalt väikese sammuga muutmine sumblüli abil ei olnud võimalik, seati signaalitugevus konstantseks u. 12 dB SNR juures, ning vastuvõtutarkvaras lisati müra, kuni oli saavutatud järgmise mõõtmise jaoks sobiv signaali-müra suhe. Ülevaade katsest on antud joonisel 9. Testimisega seotud kood ja katseandmed on kättesaadavad [18, /Testing/BER]

¹⁵International Telecommunication Union – Telecommunication Standardization Sector

¹⁶Pseudo-Random Binary Sequence

¹⁷Signal-to-Noise Ratio



Joonis 9: Bitivea tiheduse testi ülevaade.

4.1.1 Signaal-müra suhte määramine

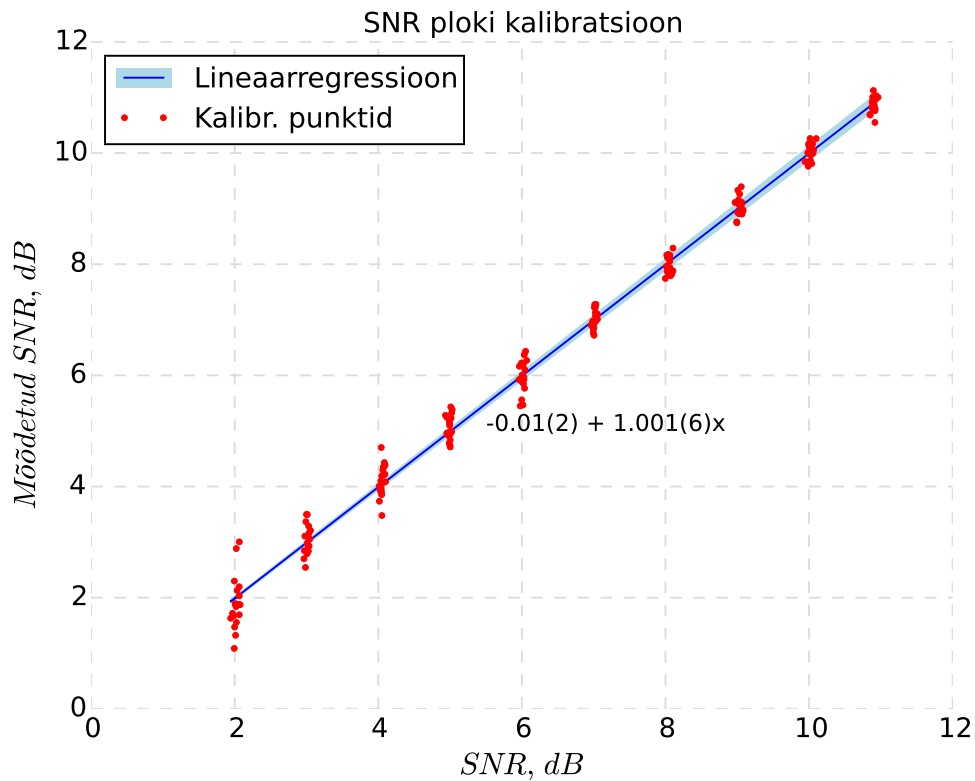
Signaali mürataseme määramiseks kasutatakse *MPSK SNR Estimator Probe* plokki algoritmi *2nd and 4th Moments*. See saadab regulaarselt sõnumeid SNR väärtusega bitivigade loendamise plokile, mis need kombineerib ja väljastab. SNR määramise algoritmi on kirjeldatud [31]. Muuhulgas mainitakse vajadust teostada kalibratsioon juhul, kui vastuvõtja filter ei vasta Nyquisti filtri[14, ptk 4.2] kriteeriumitele.

Kalibreerimiseks genereeritakse GnuRadios simuleeritud müravaba saatja signaal, kasutades selleks teadaolevat saatja filtri impulsskostet, ning suunatakse see demodulaatori sisendisse. Lisaks genereeritakse Gaussi jaotusega valge müra, mis filtreeritakse kasutades sama filtrit, mida demoduleerimisel.

Signaali ja müra võimsused hinnatakse eraldi, ning arvutatakse signaal-müra suhe. Seda võrreldakse tulemusega SNR plokist, mille sisendis signaal ja müra liidetakse.

Kuna filter ei ole sümbolitevahelise interferentsi vaba, on vajalik hinnata signaali panust mürasse, kasutades sama hindamisalgoritmi, mis hiljem kasutuses müraga signaali puhul. Müra osakaaluks signaalist hindame $-27.8(1)dBc$ 95% usaldusnivool. See osa lahutatakse signaali võimsusest ning liidetakse müra võimsusele enne võimsuste suhte arutamist.

Seejärel teostatakse kalibratsioonmõõtmised. Tulemused on esitatud joonisel 10.



Joonis 10: SNR ploki kalibratsioon.

4.1.2 Bitivigade loendamine

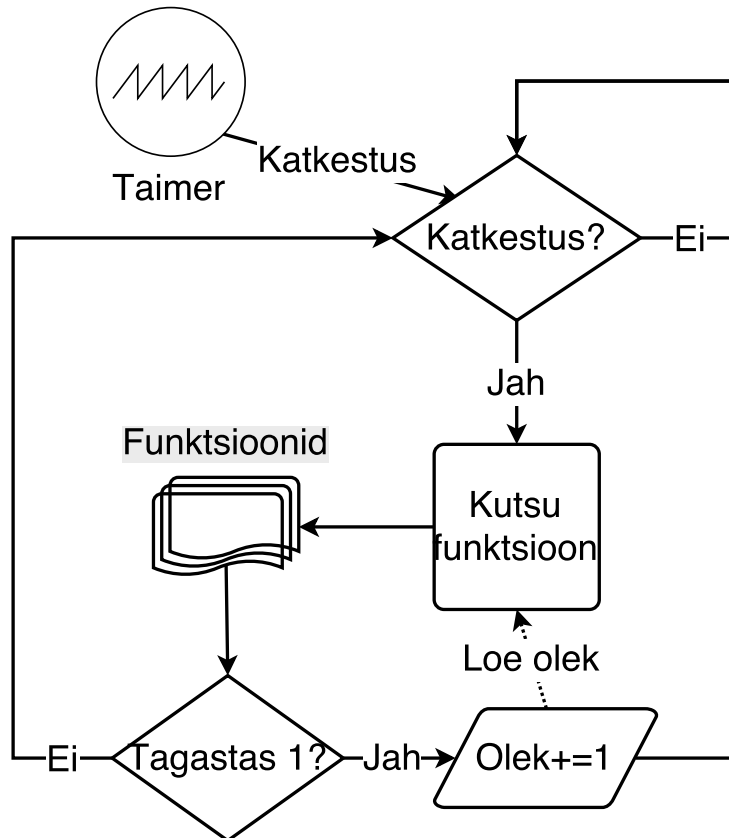
Testpakettide genereerimiseks on koostatud programm ST Microelectronics STM32F1 arendusplaadi jaoks. Paketi sisuks on juhuslik lõik PRBS9 jadast ja selle genereerimiseks vajalik nihkeregistri algseis. Programm kasutab bittide ajastamiseks riistvaralist taimerit, mis genereerib katkestuse. Katkestuskäsitleja on olekumasin, mis kutsub vastavalt paketi osale, mida parajasti saadetakse, välja alamkäsitleja. Alamkäsitleja teab, mis bitti antud osas saata on vaja, ning seab väljundi vastavalt. Kui tegu oli antud osa viimase bitiga, tagastatakse olekumasinale 1, mispeale too liigub järgmisesse olekusse(joonis 11).

Alamkäsitlejad on:

- faasi- ja sümboli-sünkrosõne (ei kasutata),
- paketi sünkrosõne,
- paketi päis (paketi pikkus),

- nihkeregistri algolek,
- genereeritud bitid.

Kood on leitav lisas 6.1.1 ning addressil [18, /MCU].



Joonis 11: Testpakettide genereerija põhimõtteskeem.

Bitivigade loendamiseks on koostatud GnuRadio plokk, mis loeb paketist nihkeregistri väärtuse ning genereerib andmete kohaliku koopia, millega vastuvõetut võrreldakse. Kõigi pakettide peale loetakse kokku vastuvõetud ning vigaste bittide arvud, mille järgi arvutatakse bitivigade keskmine tihedus. Tulemused väljastatakse regulaarselt ekraanilogisse.

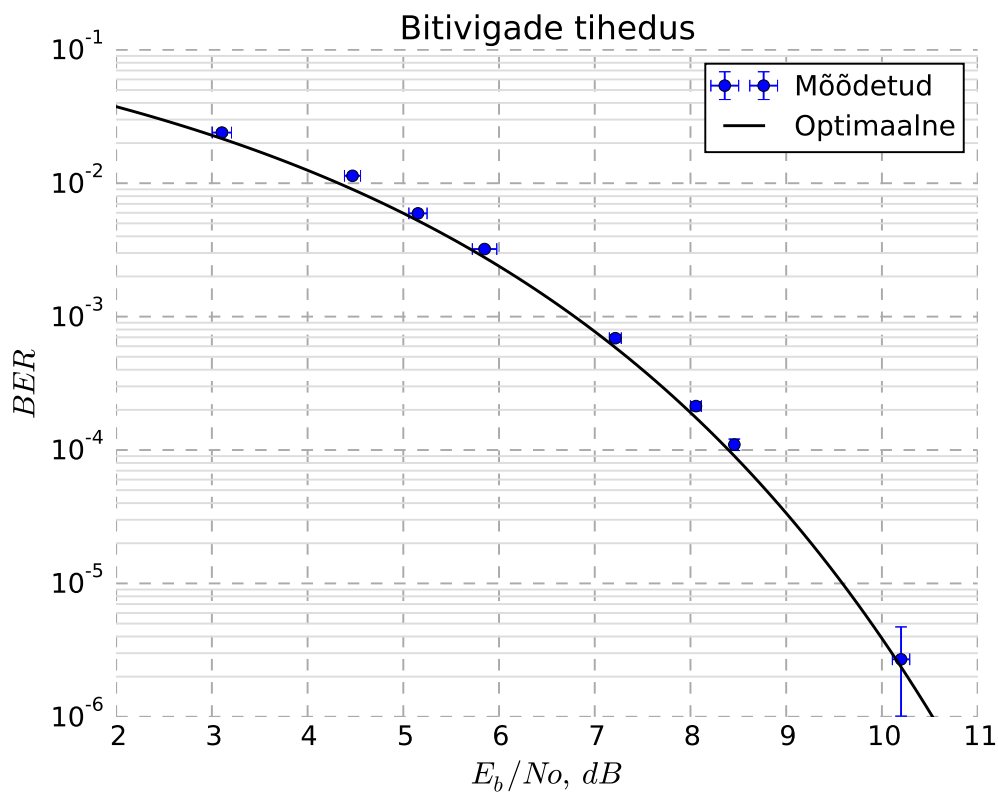
Andmed kopeeritakse ekraanilogist failidesse, mida seejärel töödeldakse Pythonis koostatud skripti abil. Signaal-müra suhet modelleeritakse kui normaaljaotusega juhuväärtust, bitivigade arvu ühe mõõtmise jooksul kui Poissoni jaotusega väärtust. Mõlema parameetri jaoks hinnatakse 95% usaldusnivoo. Programm on antud lisas 6.1.3 ning digitaalkujul leitav [18, /Testing/BER].

BPSK teoreetiline bitivigade tiheduse sõltuvus on antud [32, valem 5-2-5]:

$$P_d = \frac{1}{2} \operatorname{erfc}\left(\sqrt{\frac{S}{N}}\right), \quad (4.1)$$

kus

- P_d on bitivigade tihedus,
- S on müravaba signaali tugevus detektoris,
- N on müra tugevus detektoris.



Joonis 12: Bitivigade tiheduse võrdlus teoreetilisega.

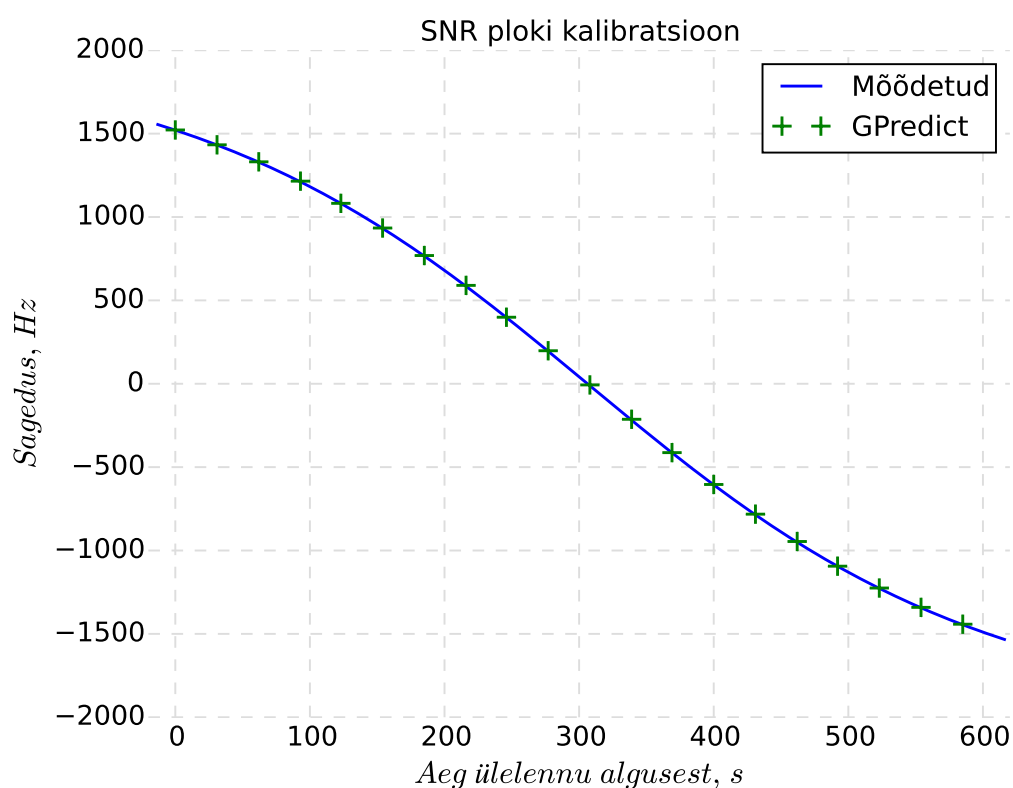
Võib näha head kooskõla teoreetilise kõvera ning mõõtepunktide vahel. Maksimaalne kõrvalekalle optimaalsest ei ületa 0.5 dB. Madalaima mõõdetud signaali-müra suhte määras Costase ahela stabiilsus: allpool $SNR = 3$ tõusis faasi pöördumiste tihedus, mis tegi terve paketi kättesaamise peaaegu võimatuks.

4.2 Doppleri ploki võrdlus GPredictiga

Doppleri korrektsiooni ploki puhul on vaja kindlustada, et kasutatud teegi rakendamise erisused pole põhjustanud olulisi muutusi tulemustes. Selleks võrreldakse GPredicti väljastatud andmeid ploki genereeritud sagedusnihkega.

GPredict võimaldab väljastada ennustustabeli satelliidi järgmise ülelennu kohta. Väljundi algusaeg teisendatakse USRP ajakoodiks, mis antakse Doppleri korrektsiooni ploki sisendis esimese võendi vastuvõtuga lipuna. Väljund ühendatakse GnuRadio standardteegi plokiga *Quadrature demod*, mis võenditevahelise faasinihke ning diskreetimissageduse järgi arvutab välja hetksageduse, mis talletatakse kõvakettale.

Testi tulemused on esitatud joonisel 13. Kood on kättesaadav [18, /Testing/Doppler].



Joonis 13: Simuleeritud satelliidi ülelend

Maksimaalne vahe GPredicti ja töös koostatud ploki ennustuste vahel ei ületa 6 Hz.

5 Arendusvõimalused

Ehkki vastuvõtja töötab, on arenguruumi veel. Järgnevalt on välja toodud valdkonnad, mis vajavad tähelepanu.

Kasutusmugavus: sageduse ja satelliidi muutmine ei peaks endas hõlmama programmi seismajätmist. Satelliidi valik peaks olema nimekirjast, ning loetama otse andmepakkujate poolt jagatavast failist.

Parandada saab Doppleri korrektsiooni ploki arvutuslikku efektiivsust: kombineerides selle harvendava filtriga, on võimalik töötlemist vajavate andmete hulka harvendusteguriga võrdeliselt vähendada – käesolevas töös tähendaks see vähemalt 10 korda suuremat jõudlust. Lisaks saab optimeerida arvutust võttes kasutusele VOLK teegid, mis defineerivad paljude tehete jaoks optimeeritud SIMD lahendused.

Edasi on vaja töötada ka kasutatud sagedussüntesaatoriga ADF4158. Ehkki EC-2-1 seda ei rakendata, on vaja analüüsida selle sobivust saatjaks mõnes järgnevas projektis. See nõuab tutvumist süntesaatori tagasisidefiltriga: kui palju õnnestub piirata kiirgust kõrvalkanalitele ning kui suurt andmeedastuskiirust on võimalik saavutada.

5.1 Veaparandus

Kuna plaanitavad andmemahud on suured, on vaja uurida ning välja arendada veaparanduskoodide kasutamise võimekus. Peale eetriaaja säästmise aitab see tasakaalus hoida ka satelliidi energiabilanssi: saatja on sees harva, kuid sel ajal on see suurim elektritarbija. Veaparandus on oluline ka EC-3 kuumissiooni perspektiivis: Kuna vahemaa satelliidi ja maajaama vahel on suur, on andmete taassaatmise nõudmine satelliidilt aeglane (edasi-tagasi side viide u. 2.5 sekundit)

Viited

- [1] IEEE standard 1900.1-2008. *IEEE Standard Definitions and Concepts for Dynamic Spectrum Access: Terminology Relating to Emerging Wireless Networks, System Functionality, and Spectrum Management*. 2008. DOI: 10.1109/IEEE STD.2008.4633734.
- [2] ITU-T Study Group 4. *ITU-T Recommendation O.150. General Requirements for Instrumentation for Performance Measurement on Digital Transmission Equipment*. 1996. URL: <http://www.itu.int/rec/T-REC-O.150-199605-I/en> (külastatud 05/28/2016).
- [3] Analog Devices, Inc. *AD9625. 12-Bit, 2.6 GSPS/2.5 GSPS/2.0 GSPS, 1.3 V/2.5 V Analog-to-Digital Converter*. URL: <http://www.analog.com/en/products/analog-to-digital-converters/high-speed-ad-10msps/ad9625.html> (külastatud 05/22/2016).
- [4] Leif Åsbrink. *Linrad home page*. URL: <http://www.sm5bsz.com/linuxdsp/linrad.htm> (külastatud 05/23/2016).
- [5] Alexandru Csete. *About GPredict*. URL: <http://gpredict.oz9aec.net/index.php> (külastatud 05/27/2016).
- [6] Alexandru Csete. *Gqrx SDR*. URL: <http://gqrx.dk/> (külastatud 05/23/2016).
- [7] Ettus Research, Inc. *UBX 10-6000 MHz Rx/Tx (40 MHz, N Series and X Series)*. URL: <https://www.ettus.com/product/details/UBX40> (külastatud 05/23/2016).
- [8] Ettus Research, Inc. *USRP Bandwidth*. URL: <https://www.ettus.com/kb/detail/usrp-bandwidth> (külastatud 05/23/2016).
- [9] Ettus Research, Inc. *USRP Software Defined Radio*. URL: <https://www.ettus.com/product/> (külastatud 05/22/2016).
- [10] Ettus Research, Inc. *USRP2 and N2x0 Series*. URL: http://files.ettus.com/manual/page_usrp2.html (külastatud 05/23/2016).
- [11] Stéphane Fillod, Frank Singleton, ja the Hamlib Group. *Hamlib API Reference*. URL: <http://hamlib.sourceforge.net/manuals/1.2.15/index.html> (külastatud 05/22/2016).
- [12] FlexRadio Systems. *FLEX Signature Series*. URL: <https://www.flexradio.com/amateur-products/flex-6000-signature-series/> (külastatud 05/22/2016).
- [13] FlexRadio Systems. *SmartSDR v1.7.30 Now Available for Download*. URL: <https://community.flexradio.com/flexradio/topics/smartsdr-v1-7-30-now-available-for-download> (külastatud 05/23/2016).

- [14] Fredric J. Harris. *Multirate Signal Processing For Communication Systems*. Pearson India, 2007. ISBN: 978-8131715970.
- [15] Felix R. Hoots, Ronald L. Roehrich, ja TS Kelso. *SPACETRACK REPORT NO. 3. Models for Propagation of NORAD Element Sets*. 1988. URL: <http://www.clestrak.com/NORAD/documentation/spacetrk.pdf> (külastatud 05/27/2016).
- [16] Icom America Inc. *IC-7300 HF/50MHz Tranceiver*. URL: <http://www.icomamerica.com/en/products/amateur/hf/7300/default.aspx> (külastatud 05/22/2016).
- [17] Steve Ireland ja Phil Harman. *Radio Communication Handbook*. Toim. Mike Dennison ja John Fielding. 11th ed. Bedford, GB: Radio Society of Great Britain, 2011. Chap. Software Defined Radio. ISBN: 9781-9050-8674-0.
- [18] Laur Joost. *Bakalaureusetöö kood ja andmed*. URL: https://gitlab.com/jostikas/Thesis_final (külastatud 05/30/2016).
- [19] Kitware. *About CMake*. URL: <https://cmake.org/overview/> (külastatud 05/27/2016).
- [20] Bryan Klofas ja Kyle Leveque. *A Survey of CubeSat Communication Systems: 2009–2012*. 2013. URL: http://www.klofas.com/papers/Klofas_Communications_Survey_2009-2012.pdf (külastatud 05/24/2015).
- [21] Thorsten Kostulski ja Sam Reisenfeld. “ K_a band Propagation Experiments on the Australian Low-Earth Orbit Microsatellite “FedSat””. Kogumikus: *Proceedings of the 6th Australian Communications Theory Workshop*. 2005. DOI: 10.1109/AUSCTW.2005.1624234.
- [22] Carl Laufer. *About RTL-SDR*. URL: <http://www.rtl-sdr.com/about-rtl-sdr> (külastatud 05/22/2016).
- [23] Carl Laufer. *RTL-SDR Direct-Sampling Mode*. URL: <http://www.rtl-sdr.com/rtl-sdr-direct-sampling-mode/> (külastatud 05/22/2016).
- [24] Anatolii N. Leukhin ja Egor N. Potekhin. “Optimal Peak Sidelobe Level Sequences up to Length 74”. Kogumikus: *Proceedings of the 10th European Radar Conference*. 2013. ISBN: 978-2874870330. URL: <http://ieeexplore.ieee.org/stamp/stamp.jsp?tp=&arnumber=6689222>.
- [25] Howard Long. *FUNcube Dongle*. URL: <http://www.funcubedongle.com/> (külastatud 05/22/2016).
- [26] S. Lawrence Marple Jr. “Estimating group delay and phase delay via discrete-time “analytic” cross-correlation”. Kogumikus: *IEEE Transactions on Signal Processing* 47 (9 1999). DOI: 10.1109/78.782223.

- [27] Microtelecom s.r.l. *Perseus Direct-Sampling SDR Receiver*. URL: <http://www.microtelecom.it/perseus/> (külastatud 05/22/2016).
- [28] National Instruments. *Software-Defined Radio*. URL: <http://www.ni.com/sdr/#> (külastatud 05/23/2016).
- [29] Michael Ossman. *Great Scott Gadgets - HackRF One*. URL: <https://greatscottgadgets.com/hackrf/> (külastatud 05/22/2016).
- [30] Toomas Parve, toimetaja. *Technical Vocabulary*. URL: <http://www.elin.ttu.ee/~parveto/EthnLing/TechVoca/Index.htm> (külastatud 05/23/2016).
- [31] David R. Pauluzzi ja Norman C. Beaulieu. "A Comparison Of SNR Estimation Techniques For The AWGN Channel". Kogumikus: *IEEE Transactions on Communications* 48 (10 2000). DOI: 10.1109/26.871393.
- [32] John G. Proakis. *Digital Communication*. 4th ed. McGraw Hill, 2000. Chap. 5. ISBN: 978-0072321111.
- [33] Tom Rondeau. *digital: fixing PFB clock sync block handling of tags*. URL: <https://github.com/trondeau/gnuradio/commit/8b5169b933cb4d9443ed3a8e242a22bb981c1267> (külastatud 05/29/2016).
- [34] Toomas Ruuben. *Pidevsignaali töötlemine*. 2014. URL: http://www.lr.ttu.ee/pidevsignaali/2014sygis/PIDEVSIGNAALID_11.pdf (külastatud 05/23/2016).
- [35] SDR-Radio.com Limited. *It's All About The Software*. URL: <http://sdr-radio.com/> (külastatud 05/23/2016).
- [36] Bill Shupp, toimetaja. *libgpredict on GitHub*. URL: <https://github.com/shupp/libgpredict/tree/master/sgpsdp> (külastatud 05/27/2016).
- [37] Andris Slavinskis, Silver Lätt, ja Mart et al. Noorma. "ESTCube-1 In-Orbit Experience and Lessons Learned". Kogumikus: *IEEE Aerospace and Electronic Systems Magazine* 30 (8 2015), lk. 12–22. DOI: 10.1109/MAES.2015.150034.
- [38] Texas Instruments Inc. *RF-Sampling and GSPS ADCs*. 2012. URL: <http://www.ti.com/lit/sg/snwt001/snwt001.pdf> (külastatud 05/22/2016).
- [39] The GNU Radio Foundation, Inc. *costas_loop_cc_impl.cc*. Versioon 3.7.9.2. May 27, 2016. URL: https://github.com/gnuradio/gnuradio/blob/master/gr-digital/lib/costas%5C_loop%5C_cc%5C_impl.cc.
- [40] The GNU Radio Foundation, Inc. *GNU Radio*. URL: <http://gnuradio.org/> (külastatud 05/23/2016).

- [41] The GNU Radio Foundation, Inc. *gr::digital::pfb_clock_sync_ccf Class Reference*. URL: http://gnuradio.org/doc/doxygen/classgr%5C_1%5C_1digital%5C_1%5C_1pfb%5C_%5C_clock%5C_%5C_sync%5C_%5C_ccf.html (külastatud 05/27/2016).
- [42] The MathWorks, Inc. *Software-Defined Radio (SDR)*. URL: <http://se.mathworks.com/discovery/sdr.html> (külastatud 05/23/2016).
- [43] Mario Täubel. *HSDR. High Definition Software Defined Radio*. URL: <http://www.hdsdr.de/index.html> (külastatud 05/23/2016).
- [44] *WB5RVZ Software Defined Radio Homepage*. URL: <http://wb5rvz.com/sdr/> (külastatud 05/22/2016).
- [45] Xilinx Inc. *Vivado Design Suite*. URL: <http://www.xilinx.com/products/design-tools/vivado.html> (külastatud 05/23/2016).

6 Lisad

Failiviited on defineeritud https://gitlab.com/jostikas/Thesis_final ([18]) suhtes.

6.1 BER¹⁸ testimine.

6.1.1 STM32F1 PRBS9 genereerimiskood

Fail /MCU/Src/stm32f1xx_it.c

```
1 void TIM1_UP_TIM16_IRQHandler(void)
2 {
3     /* USER CODE BEGIN TIM1_UP_TIM16_IRQn 0 */
4     output_next_bit();
5     /* USER CODE END TIM1_UP_TIM16_IRQn 0 */
6
7     HAL_TIM_IRQHandler(&htim1);
8 }
```

Fail /MCU/Inc/main.h:

```
1 #define ZEROS 16*8 /* 16 bytes of 0-s. */
2
3 /*! Syncword to use. */
4 const int g_syncword[] =
5     {0,0,1,1,0,0,0,1,1,1,1,1,0,1,0,1,0,1,1,0,1,1,0};
6
7 /*! Access code to use. */
8 const int g_access[] = {0,0,1,1,0,0,1,1,0,0,0,0,0,0,0,0,0,0,0,0,0,0,
9     1,1,1,1,0,0,1,0,1,1,0,1,0,1,0,1,0};
10 const int g_access_len = sizeof (g_access) / sizeof g_access[0];
11
12 /*! length field , 256 + 2*2 (for the regstate). 32 bits by definition
13 (2*uint16_t, as expected by the packet deinterleaver).
14 Hope this long row of 0-s doesn't cause sync issues... */
15 const int g_packetlen[32] = {0,0,0,0,0,0,0,0,1,0,0,0,0,0,0,1,0,0,0,
16     0,0,0,0,0,0,0,0,1,0,0,0,0,0,0,1,0,0};
17 const int g_packetlen_len = 32;
```

Fail /MCU/Src/main.c:

```
1 static uint16_t reg = 0x0001; //State of the shift register
2
3 void output_bit(GPIO_PinState state)
4 {
```

¹⁸Bit Error Rate

```

5  HAL_GPIO_WritePin(PRBS_OUT_GPIO_Port, PRBS_OUT_Pin, state); //
   Write out to GPIO
6 }
7
8 int sync_next_bit(void)
9 {
10  static int count = 0;
11
12  output_bit( g_syncword[count++] ? GPIO_PIN_SET : GPIO_PIN_RESET );
13
14  if ( count >= g_syncword_len )
15  {
16      count = 0;
17      return 1;
18  }
19  else return 0;
20 }
21
22 int access_next_bit(void)
23 {
24  static uint8_t count = 0;
25
26  output_bit( g_access[count++] ? GPIO_PIN_SET : GPIO_PIN_RESET );
27  if (count >= g_access_len)
28  {
29      count = 0;
30      return 1;
31  }
32  else return 0;
33 }
34
35 int packetlen_next_bit(void)
36 {
37  static uint8_t count = 0;
38
39  output_bit( g_packetlen[count++] ? GPIO_PIN_SET : GPIO_PIN_RESET );
40  if (count >= g_packetlen_len)
41  {
42      count = 0;
43      return 1;
44  }
45  else return 0;
46 }
47
48 int regstate_next_bit(void)
49 {
50  static int count = 0;
51  static uint16_t regstate = 0; /*< Actual register will never have
   0. */

```

```

52  if ( !count )  regstate = reg;
53
54  output_bit( (regstate & (1<<15)) ? GPIO_PIN_SET : GPIO_PIN_RESET );
55  regstate <<= 1;
56
57  if ( (++count) >= 16)
58  {
59      count = 0;
60      regstate = 0; //Will be 0 anyway, as all bits have been shifted
        out.
61      return 1;
62  }
63  else return 0;
64 }
65
66 int PRBS9_next_bit(void)
67 {
68     static uint16_t count = 0;
69     output_bit(reg&1 ? GPIO_PIN_SET : GPIO_PIN_RESET);
70
71     /* Update the state */
72     int newbit = (((reg >> 8) ^ (reg >> 4)) & 0x0001); //x^9+x^5+1,
        PRBS9
73     reg = ((reg << 1) | newbit) & 0x01FF;
74
75     if (++count >= 256*8)
76     {
77         count = 0;
78         return 1;
79     }
80     else return 0;
81 }
82
83 int zeros_next_bit(void)
84 {
85     static int count = 0;
86
87     output_bit(GPIO_PIN_RESET);
88
89     if ( ++count >= ZEROS )
90     {
91         count = 0;
92         return 1;
93     }
94     else
95     {
96         return 0;
97     }
98 }

```



```

99
100 /*
101 Output the frame in sections. If called function returns 1, go to
    next state.
102
103 syncword is used for demodulation.
104 Access code and packetlen are used by the packet deframer, but
    really we could
105 do without, as syncword should be enough, and our packet has
    constant structure.
106 Regstate (twice) follows, so if we lose a packet, we can detect it
    and resync.
107 PRBS9 outputs the actual test bits.
108 zeros is padded to the end.
109 */
110 void output_next_bit(void)
111 {
112     static int clock = 0;
113     static int state = 0;
114     static int (*state_funcs[7])() = {
115         sync_next_bit,
116         access_next_bit,
117         packetlen_next_bit,
118         regstate_next_bit,
119         regstate_next_bit, /* Register twice, lest we calculate based on
            wrong register value */
120         PRBS9_next_bit,
121         zeros_next_bit
122     };
123     /* On falling edge of clock */
124     if (clock)
125     {
126         /* If the corresponding function returns true, move to the next
            state */
127         if ( state_funcs[state]() ) state++;
128
129         if ( state >= 7 ) state = 0;
130     }
131     HAL_GPIO_TogglePin(HCLK_OUT_GPIO_Port, HCLK_OUT_Pin); // Output
        clock.
132     clock = !clock;
133 }
134
135 void wait_for_PB(void)
136 {
137     while(HAL_GPIO_ReadPin(UserBTN_GPIO_Port, UserBTN_Pin))
138     {} //wait for button to be released.
139     HAL_Delay(10); //Debounce delay 10 ms

```

```

140 while (!HAL_GPIO_ReadPin(UserBTN_GPIO_Port, UserBTN_Pin)) // Wait
    for button to be pressed
141 {
142     HAL_Delay(10);
143     if (HAL_GPIO_ReadPin(UserBTN_GPIO_Port, UserBTN_Pin))
144     {
145         break;
146     }
147 }
148 }

```

6.1.2 SNR ploki kalibreerimisandmete töötlemine

Fail /Testing/BER/extract_cal_data.py

```

1 from __future__ import print_function, unicode_literals
2 import numpy as np
3 import matplotlib.pyplot as plt
4 from scipy.stats import linregress
5
6 "Extract calibration coeffs from caldata."
7 indices=range(2,12)
8
9 # Read data from files.
10 divs = [],[] # means and sigmas
11 snbs = [],[]
12 for snr in indices:
13     div = np.fromfile(open("caldata/div{}.f32".format(snr)),
14 dtype=np.float32)
15     divs[0].append(np.mean(div))
16     divs[1].append(np.std(div, ddof=1) / np.sqrt(len(div)))
17     with open("caldata/snr_block{}".format(snr)) as snblock:
18         vals = []
19         for line in snblock:
20             try:
21                 vals.append(float(line))
22             except ValueError:
23                 pass
24     snbs[0].append(np.mean(vals))
25     snbs[1].append(np.std(vals, ddof=1) / np.sqrt(len(vals)))
26
27 divs = np.array(divs)
28 snbs = np.array(snbs)
29 slope, intercept, r_value, p_value, std_err = linregress(divs[0],
30 snbs[0])
31
32 # Estimate std of slope and intercept

```

```

33 n = len(divs[0])
34 num = np.sqrt(np.sum(divs[0]**2) * np.sum(errs**2))
35 den = (n-2) * (n*np.sum(divs[0]**2) - np.sum(divs[0])**2)
36 s_int = np.sqrt(num/den)
37
38 num = n*np.sum(errs**2)
39 # den is same.
40 s_slo = np.sqrt(num/den)
41
42 print("Slope: {}, intercept: {}, s_slope: {}, s_inter:
      {}".format(slope,
43               intercept,
44               s_slo,
45               s_int))
46
47 result = np.array((intercept, slope, s_int, s_slo), dtype=np.float32)
48 result.tofile("cal-data.f32")

```

6.1.3 Bitivigade tiheduse andmete töötlemine

Programm on kutsumiseks failide nimekirjaga bash-ist.

Fail /Testing/BER/extract_data.py:

```

1 #!/usr/bin/python
2 # -*- coding: utf-8 -*-
3 from __future__ import print_function
4
5 """
6 Extract BER and SNR data from BER logs, process and output to csv.
7 """
8 import numpy as np
9 import scipy
10 from scipy import stats
11
12 def extract(filename):
13     snrs = []
14     tot = 0
15     be = 0
16     with open(filename, "r") as f:
17         for line in f:
18             if line.startswith("BE :"):
19                 be = int(line[4:]) # Only keep last.
20             elif line.startswith("BTS:"):
21                 tot = float(line[4:])
22             elif line.startswith("SNR:"):

```

```

23         snrs.append(float(line[4:]))
24     snr = np.mean(snrs)
25     snr_sigma = np.std(snrs, ddof=1)
26     snr_conf = stats.norm.interval(0.95, 0, snr_sigma /
len(snrs))
27
28     ber = be/tot
29     ber_conf = []
30     be_conf = stats.poisson.interval(0.95, be)
31     ber_conf.append(ber - be_conf[0] / tot) # Need those values
relative to data
32     ber_conf.append(be_conf[1] / tot - ber)
33     return (snr, ber, snr_conf[1], ber_conf[0], ber_conf[1])
34
35 def plot(results):
36
37     plt.text(6.5, 0.12, "Bitivigade tihedus", fontsize=17,
ha="center")
38
39 ...
40
41     na = np.array(results).T
42     measured = plt.errorbar(na[0], na[1],
43                             yerr=[na[3], na[4]],
44                             xerr=na[2],
45                             fmt='o',
46                             label=u"M~o~odetud")
47     print(measured)
48
49     theory_x = np.linspace(2,11,100)
50     theory_y = 0.5*scipy.special.erfc(np.sqrt((10**((theory_x/10))))))
51     bpsk, = plt.semilogy(theory_x, theory_y, 'k-',
label="Teoreetiline", lw=1.5)
52
53     plt.legend(handles=[measured, bpsk])
54
55     plt.show()
56
57
58 if __name__ == "__main__":
59     import csv
60     import argparse
61     from matplotlib import pyplot as plt
62
63     parser = argparse.ArgumentParser(description="Process BER
output")
64     parser.add_argument("files", type=str, nargs="+")
65     parser.add_argument("-o", dest="outfile",
default="bers_out.csv", type=str)

```

```

66
67     args = parser.parse_args()
68
69     results = []
70     for filename in args.files:
71         result = extract(filename)
72         if float("nan") in result: # remove nan-containing points,
as they casue
73             continue
74         results.append(extract(filename))
75     results.sort(key=lambda x: x[0])
76
77     writer = csv.writer(open(args.outfile, "wb"))
78     writer.writerow("snr, ber, snr_conf_low, snr_conf_high,
ber_conf_low, ber_conf_high")
79     writer.writerows(results)
80
81     plot(results)

```

6.2 Doppleri nihke korrigeerimise plokk

Fail: /blocks/gr-doppler/lib/doppler_tle_cc_impl.cc

```

1 #include <cstdio>
2 #include <ctime>
3 #include <stdexcept>
4 #include <gnuradio/io_signature.h>
5 #include <gnuradio/tags.h>
6 #include <gnuradio/expj.h>
7 #include "doppler_tle_cc_impl.h"
8
9 #include <cassert>
10
11 #define MILLION 1000000
12 #define BILLION 1000000000
13 #define DOP_PERIOD_IN_SECS 1 /*!< Period of updating the frequency
prediction. */
14 #define DOP_PERIOD d_samp_rate*DOP_PERIOD_IN_SECS /*!< Period of
updating the frequency in samples */
15 #define LC_KM 299792.458 /*<! Speed of light in km/s */
16
17 namespace gr {
18     namespace doppler {
19
20         doppler_tle_cc::sptr
21         doppler_tle_cc::make(
22             double samp_rate,
23             double center_freq,

```

```

24     char tle[240],
25     std::vector<double> obs,
26     bool use_tags)
27     {
28         return gnuradio::get_initial_sptr
29         (new doppler_tle_cc_impl(samp_rate, center_freq, tle, obs,
use_tags));
30     }
31
32     /*
33      * The private constructor
34      */
35     doppler_tle_cc_impl::doppler_tle_cc_impl(
36         double samp_rate,
37         double center_freq,
38         char tle_string[240],
39         std::vector<double> obs,
40         bool use_tags)
41     : gr::sync_block("doppler_tle_cc",
42         gr::io_signature::make(1, 1, sizeof(gr_complex)),
43         gr::io_signature::make(1, 1, sizeof(gr_complex)))
44     {
45         /* Allocate memory for structs */
46         d_sat = new sat_t();
47         d_obs = new geodetic_t();
48
49         /* Initialize other member variables */
50         d_renew = false;
51         d_rx_time = uhd::time_spec_t();
52         d_offset = uhd::time_spec_t();
53         d_systime_initialized = false;
54         d_samps_to_next = 0;
55         d_nco = gr_expj(0);
56         d_end_freq = 0;
57         d_curr_tag = tag_t();
58
59         set_samp_rate(samp_rate);
60         set_center_freq(center_freq);
61         set_tle(tle_string);
62         set_obs(obs);
63         set_use_tags(use_tags);
64     }
65
66     /*
67      * Our virtual destructor.
68      */
69     doppler_tle_cc_impl::~doppler_tle_cc_impl()
70     {
71         delete d_sat;

```

```

72     delete d_obs;
73 }
74
75 /* ***** */
76 /*      Getters and setters      */
77 /* ***** */
78
79 /* Sample rate */
80 void
81 doppler_tle_cc_impl::set_samp_rate(double samp_rate)
82 {
83     d_samp_rate = samp_rate;
84     d_freqs.reserve(int(DOP_PERIOD));
85     d_renew = true;
86 }
87
88 double
89 doppler_tle_cc_impl::samp_rate(void)
90 {
91     return d_samp_rate;
92 }
93
94 /* Center frequency */
95 void
96 doppler_tle_cc_impl::set_center_freq(double center_freq)
97 {
98     d_center_freq = center_freq;
99     d_renew = true;
100 }
101
102 double
103 doppler_tle_cc_impl::center_freq(void)
104 {
105     return d_center_freq;
106 }
107
108 /* TLE - ie. satellite selection */
109 void
110 doppler_tle_cc_impl::set_tle(char tle_string[240])
111 {
112     char tle_lines[3][80];
113
114     /* Split the TLE into lines */
115     std::stringstream ss(tle_string);
116     std::string to;
117     for (int i=0;i<3;i++)
118     {
119         std::getline(ss, to);
120         strncpy(tle_lines[i], to.c_str(), 80);

```

```

121     tle_lines[i][79] = '\0';
122 }
123
124 /* Process the TLE */
125 if(Get_Next_Tle_Set(tle_lines , &d_sat->tle) != 1)
126 {
127     throw std::invalid_argument("TLE string failed checksum!");
128 }
129 else
130 {
131     select_ephemeris(d_sat);
132     memcpy(d_tle_string , tle_string , 240); /* Lookup buffer for
returning only. */
133     d_renew = true;
134     if (d_debug) std::cout << "TLE: " << tle() << std::endl;
135 }
136 }
137
138 char *
139 doppler_tle_cc_impl::tle(void)
140 {
141     return d_tle_string;
142 }
143
144 void
145 doppler_tle_cc_impl::set_obs(std::vector<double> obs)
146 {
147     d_obs->lat = Radians(obs[0]);
148     d_obs->lon = Radians(obs[1]);
149     d_obs->alt = obs[2]/1000; /* Model wants this in km-s */
150     d_obs->theta = 0;
151     d_renew = true;
152     if (d_debug) std::cout << "OBS: (" << this->obs()[0] << ", "
<< this->obs()[1] << ", " << this->obs()[2] << ")" << std::endl;
153 }
154
155 std::vector<double>
156 doppler_tle_cc_impl::obs(void)
157 {
158     double ret[] = {Degrees(d_obs->lat), Degrees(d_obs->lon),
d_obs->alt*1000};
159     return std::vector<double>(ret , ret+3);
160 }
161
162 void
163 doppler_tle_cc_impl::set_use_tags(bool use_tags)
164 {
165     d_use_tags = use_tags;
166 }

```



```

167
168 bool
169 doppler_tle_cc_impl::use_tags(void)
170 {
171     return d_use_tags;
172 }
173
174 uhd::time_spec_t
175 doppler_tle_cc_impl::tag_to_time_spec(tag_t tag)
176 {
177     if (d_debug) {
178         std::cout << "TTTS: " << tag.key << tag.value << std::endl;
179         assert (pmt::symbol_to_string(tag.key) == "rx_time");
180     }
181
182     time_t full_secs = (time_t)
pmt::to_uint64(pmt::tuple_ref(tag.value, 0));
183     double frac_secs = pmt::to_double(pmt::tuple_ref(tag.value,
1) );
184     assert(0 <= frac_secs && frac_secs < 1);
185
186     return uhd::time_spec_t(full_secs, frac_secs);
187 }
188
189 inline double
190 doppler_tle_cc_impl::unix_to_jd(uhd::time_spec_t rx_time)
191 {
192     if (d_debug) std::cout << "UTJD: " << rx_time.get_real_secs()
<< std::endl;
193     return double(rx_time.get_full_secs())/86400 +
rx_time.get_frac_secs()/86400 + 2440587.5;
194 }
195
196 /* Does the actual calling of the library. Copied wholesale from
the original C program.
197 Note that this section is only slightly modified for the
thesis from earlier work by Viljo Allik.*/
198 void
199 doppler_tle_cc_impl::predict(uhd::time_spec_t rx_time)
200 {
201     obs_set_t      obs_set;
202     geodetic_t     sat_geodetic;
203     double         age;
204     double         jdtime = unix_to_jd(rx_time);
205     if (d_debug) std::cout << "PRED: JD" << jdtime << std::endl;
206
207     d_sat->jul_epoch = Julian_Date_of_Epoch (d_sat->tle.epoch); //
=> tsince = 0.0
208     d_sat->jul_utc = jdtime;

```

```

209     d_sat->tsince = (d_sat->jul_utc - d_sat->jul_epoch) * xmpda;
210     //     d_sat->tsince = (d_sat->jul_utc - d_sat->jul_epoch);
211
212     /* call the norad routines according to the deep-space flag */
213     if (d_sat->flags & DEEP_SPACE_EPHEM_FLAG)
214         SDP4 (d_sat, d_sat->tsince);
215     else
216         SGP4 (d_sat, d_sat->tsince);
217
218     /* Convert to km-s */
219     Convert_Sat_State (&d_sat->pos, &d_sat->vel);
220
221     /* get the velocity of the satellite */
222     Magnitude (&d_sat->vel);
223     d_sat->velo = d_sat->vel.w;
224     Calculate_Obs (d_sat->jul_utc, &d_sat->pos, &d_sat->vel,
225     d_obs, &obs_set);
226     Calculate_LatLonAlt (d_sat->jul_utc, &d_sat->pos,
227     &sat_geodetic);
228
229     while (sat_geodetic.lon < -pi)
230         sat_geodetic.lon += twopi;
231
232     while (sat_geodetic.lon > (pi))
233         sat_geodetic.lon -= twopi;
234
235     d_sat->az = Degrees (obs_set.az);
236     d_sat->el = Degrees (obs_set.el);
237     d_sat->range = obs_set.range;
238     d_sat->range_rate = obs_set.range_rate;
239     if (d_debug) std::cout << "PRED: RR " << d_sat->range_rate <<
240     std::endl;
241     d_sat->ssplat = Degrees (sat_geodetic.lat);
242     d_sat->ssplon = Degrees (sat_geodetic.lon);
243     d_sat->alt = sat_geodetic.alt;
244     d_sat->ma = Degrees (d_sat->phase);
245     d_sat->ma *= 256.0/360.0;
246     d_sat->phase = Degrees (d_sat->phase);
247
248     /* same formulas, but the one from predict is nicer */
249     //d_sat->footprint = 2.0 * xkmper * acos (xkmper/d_sat->pos.w);
250     d_sat->footprint = 12756.33 * acos (xkmper /
251     (xkmper+d_sat->alt));
252     age = d_sat->jul_utc - d_sat->jul_epoch;
253     d_sat->orbit = (long) floor((d_sat->tle.xno * xmpda/twopi +
254     age * d_sat->tle.bstar * ae) * age +
255     d_sat->tle.xmo/twopi) + d_sat->tle.revnum - 1;

```

```

254 void
255 doppler_tle_cc_impl::linterp(std::vector<float> &freq,
256
257     double start_freq,
258     double end_freq,
259     int samps_to_next
260 )
261 {
262     freq.clear();
263     if (d_debug) {
264         std::cout << "LINT: SF " << start_freq << std::endl;
265         std::cout << "LINT: EF " << end_freq << std::endl;
266         std::cout << "LINT: STN " << samps_to_next << std::endl;
267     }
268
269     for (int i=0; i < samps_to_next; i++)
270     {
271         freq.push_back(float(start_freq + i * (end_freq - start_freq)
272 / samps_to_next));
273     }
274
275     uhd::time_spec_t
276     doppler_tle_cc_impl::get_system_time()
277     {
278         using namespace uhd;
279         time_spec_t ts;
280         struct timeval tmval;
281
282
283         if ( d_systime_initialized )
284         {
285             return time_spec_t::get_system_time() + d_offset;
286         }
287         else
288         {
289             d_systime_initialized = true;
290             ts = time_spec_t::get_system_time();
291             gettimeofday(&tmval, NULL);
292             d_offset = time_spec_t::get_system_time() + ts;
293             d_offset = time_spec_t(tmval.tv_sec, tmval.tv_usec, MILLION)
294
295             time_spec_t(d_offset.get_real_secs() / 2);
296
297             if (d_debug) std::cout << "SYST: F " << (ts +
298 d_offset).get_real_secs() << std::endl;
299             return ts + d_offset;
300         }
301     }

```

```

300
301 int
302 doppler_tle_cc_impl::work(int noutput_items ,
303     gr_vector_const_void_star &input_items ,
304     gr_vector_void_star &output_items)
305 {
306     const gr_complex *in = (const gr_complex *) input_items[0];
307     gr_complex *out = (gr_complex *) output_items[0];
308
309     std::cout.precision(15);
310
311     using std::deque;
312
313     /******  

314     /*      Predictor logic      */  

315     *****  

316
317     bool renew = false;
318     uhd::time_spec_t time_next = uhd::time_spec_t();
319
320     if ( !d_samps_to_next )
321     { // If we're out of predictions
322         if (d_debug) std::cout << "OOP" << std::endl;
323         renew = true;
324         d_samps_to_next = DOP_PERIOD; // This will later be  

325         reduced, if necessary.
326     }
327
328     /* First case:  

329     * Using accurate reception time stamps from the radio.  

330     * If there are any tags not on the first sample, we'll only  

331     process up  

332     * until them, and let the next work() call deal with the time  

333     change.  

334     */
335     if (d_use_tags)
336     {
337         std::vector<tag_t> tags;
338         get_tags_in_window(tags, 0, 0, noutput_items ,  

339         pmt::intern("rx_time"));
340         deque<tag_t> tags_d(tags.begin(), tags.end());
341         tags.clear();
342         while ( !tags_d.empty() )
343         {
344             if ( tags_d.front().offset == nitens_read(0) ) {
345                 if (d_debug) {
346                     std::cout << "TAG@FRONT: " << tags_d[0].key <<
347                     std::endl;

```

```

344         std::cout << "      VAL: " << tags_d[0].value <<
std::endl;
345         std::cout << "      OFFSET: " << tags_d[0].offset <<
std::endl;
346     }
347
348     d_curr_tag = tags_d.front();
349     tags_d.pop_front();
350     d_samps_to_next = DOP_PERIOD;
351     renew = true;
352     d_end_freq = 0; //Signals that we can't use cached
frequency value.
353 }
354 else {
355     /* Process no more than up to the next tag or to current
next time, if earlier. */
356     if (d_debug) {
357         std::cout << "TAG@LATER: " << tags_d[0].key <<
std::endl;
358         std::cout << "      VAL: " << tags_d[0].value <<
std::endl;
359         std::cout << "      OFFSET: " << tags_d[0].offset <<
std::endl;
360         std::cout << "RELOFFSET: " <<
tags_d[0].offset - nitems_read(0) << std::endl;
361     }
362
363     uint rel_offset = tags_d[0].offset - nitems_read(0);
364     if (rel_offset < d_samps_to_next) {
365         d_samps_to_next = rel_offset;
366         if (d_debug) {
367             std::cout << " STN: " << d_samps_to_next << std::endl;
368             std::cout << "SIZEFREQS: " << d_freqs.size() <<
std::endl;
369         }
370     }
371     break;
372 }
373 }
374 if (renew ) // Calculate timestamps for renewal
375 {
376     /* Calculate current time from last received tag and
number of samples processed.
377     * That way we avoid error accumulation
378     */
379     if (d_curr_tag.key != pmt::intern("rx_time"))
380     {
381         std::cout << "Doppler block says: " << std::endl;

```

```

382         std::cout << "No starting rx_time tag found. Using
current time as starting point.\n"
383         "(If your hardware driver doesn't generate
such tags, use 'use_tags=False',\n"
384         "as tagged mode only updates based on tags
and sample rate)." << std::endl;
385         uhd::time_spec_t curr_time = get_system_time();
386         d_curr_tag.key = pmt::intern("rx_time");
387         d_curr_tag.value = pmt::make_tuple(
388             pmt::from_uint64(curr_time.get_full_secs()),
389             pmt::from_double(curr_time.get_frac_secs())
390         );
391         d_curr_tag.offset = nitems_read(0);
392     }
393     d_rx_time = tag_to_time_spec(d_curr_tag) +
394     uhd::time_spec_t(double(nitems_read(0) -
d_curr_tag.offset) / d_samp_rate);
395     time_next = d_rx_time +
uhd::time_spec_t(double(d_samps_to_next)/d_samp_rate);
396     if (d_debug) {
397         std::cout << "RENEW_wTAGS" << std::endl;
398         std::cout << "      RXT: " << d_rx_time.get_real_secs()
<< std::endl;
399         std::cout << "      NXT: " << time_next.get_real_secs()
<< std::endl;
400     }
401 }
402 }
403
404 /*! Second case:
405 * Using wall clock time at the moment that work() is called.
406 * Will use a higher update rate, to recover quicker from
dropped packets.
407 */
408 else
409 {
410     uhd::time_spec_t curr_time = get_system_time();
411     if ((curr_time - d_rx_time).get_real_secs() > DOP_PERIOD/2)
412     {
413         renew = true;
414         d_end_freq = 0; // Also need to calculate new start
frequency.
415         std::cout << "J";
416     }
417
418     if (renew)
419     {
420         d_rx_time = get_system_time();
421         d_samps_to_next = DOP_PERIOD/2; //Update prediction

```

```

422         time_next = d_rx_time +
uhd::time_spec_t(double(d_samps_to_next)/d_samp_rate);
423         if (d_debug) {
424             std::cout << "RENEW_wTIME" << std::endl;
425         }
426     }
427 }
428
429 /* If necessary, generate a new prediction vector. */
430 if (renew)
431 {
432     double start_freq;
433
434     /* Get the timestamps to use for prediction. */
435     if ( d_end_freq ) { // Use cached value, if possible
436         start_freq = d_end_freq;
437     }
438     else {
439         predict(d_rx_time);
440         if (d_debug) {
441             std::cout << "RAW_SFREQ" << (d_sat->range_rate/LC_KM) *
d_center_freq *(-1.0) << std::endl;
442         }
443         start_freq = (d_sat->range_rate/LC_KM) * d_center_freq
*(-1.0) * twopi / d_samp_rate;
444     }
445     predict(time_next);
446     if (d_debug) {
447         std::cout << "RAW_EFREQ" << (d_sat->range_rate/LC_KM) *
d_center_freq *(-1.0) << std::endl;
448     }
449     d_end_freq = (d_sat->range_rate/LC_KM) * d_center_freq
*(-1.0) * twopi / d_samp_rate;
450
451     /* Update the d_freqs vector */
452     linterp(d_freqs, start_freq, d_end_freq, d_samps_to_next);
453     d_freqs_idx = 0;
454 }
455
456 /* Do actual work. */
457 if ( d_samps_to_next < noutput_items ) {
458     noutput_items = d_samps_to_next;
459 }
460
461 for (int i = 0; i<noutput_items; i++)
462 {
463     d_nco *= gr_expj(d_freqs[d_freqs_idx+i]);
464     out[i] = d_nco * in[i];
465 }

```

```
466     d_samps_to_next -= noutput_items;
467     d_freqs_idx += noutput_items;
468
469     //memcpy(out, in, noutput_items * sizeof(in[0]));
470     return noutput_items;
471 }
472 } /* namespace doppler */
473 } /* namespace gr */
```


Lihtlitsents lõputöö reprodutseerimiseks ja lõputöö üldsusele kättesaadavaks tegemiseks

Mina, LAUR JOOST ,

1. annan Tartu Ülikoolile tasuta loa (lihtlitsentsi) enda loodud teose „BPSK vastuvõtt tarkvaralise raadioga” mille juhendajad on VILJO ALLIK, MSc (Tartu Observatoorium) ja INDREK SÜNTER, MSc (Tartu Ülikool)

1.1. reprodutseerimiseks säilitamise ja üldsusele kättesaadavaks tegemise eesmärgil, sealhulgas digitaalarhiivi DSpace-is lisamise eesmärgil kuni autoriõiguse kehtivuse tähtaja lõppemiseni; 1.2. üldsusele kättesaadavaks tegemiseks Tartu Ülikooli veebikeskkonna kaudu, sealhulgas digitaalarhiivi DSpace'i kaudu kuni autoriõiguse kehtivuse tähtaja lõppemiseni.

2. olen teadlik, et punktis 1 nimetatud õigused jäävad alles ka autorile.

3. kinnitan, et lihtlitsentsi andmisega ei rikuta teiste isikute intellektuaalomandi ega isikuandmete kaitse seadusest tulenevaid õigusi.

Tartus, 30.05.2016